



**Secretaria de Recursos Hídricos do Estado do Ceará**

---

## **Folha de Dados**

**IDGED:**

203/02/04/A

**LOTE:**

2209

**AUTOR:**

SECRETARIA DOS RECURSOS HÍDRICO – SRH; GOLDER ASSOCIATES; PIVOT

**TÍTULO:**

ESTUDOS DE ALTERNATIVA, VIABILIDADE E PROJETO BÁSICO DA ALTERNATIVA SELECIONADA DA BARRAGEM ARNEIROZ II

**SUBTÍTULO:**

TOMO II – RELATÓRIO DOS ESTUDOS BÁSICOS; VOLUME 3 – ESTUDOS GEOLÓGICOS E GEOTÉCNICOS



**GOVERNO DO ESTADO DO CEARÁ**  
**SECRETARIA DOS RECURSOS HÍDRICOS - SRH**



**PROÁGUA**  
S E M I - Á R I D O

**ESTUDO DE ALTERNATIVAS, VIABILIDADE E  
PROJETO BÁSICO DA ALTERNATIVA SELECIONADA  
DA BARRAGEM ARNEIROZ II**

**TOMO II - RELATÓRIO DE ESTUDOS BÁSICOS**

**VOLUME 3 - ESTUDOS GEOLÓGICO E GEOTÉCNICOS**

Setembro - 2000



**ESTUDO DE ALTERNATIVAS, VIABILIDADE E  
PROJETO BÁSICO DA ALTERNATIVA  
SELECIONADA DA BARRAGEM ARNEIROZ II**

**TOMO II - RELATÓRIO DE ESTUDOS BÁSICOS**

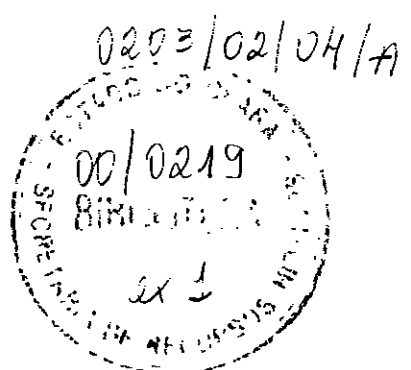
**VOLUME 3 - ESTUDOS GEOLÓGICOS E GEOTÉCNICOS**

*Elaborado para*

*SECRETARIA DOS RECURSOS HÍDRICOS – SRH – CE  
Fortaleza – CE  
Brasil*

*Elaborado por*

*Consórcio GOLDER-PIVOT  
Rua Leonardo Mota, 699  
Fortaleza – CE  
Brasil*



**Distribuição:**

02 Cópias - Secretaria dos Recursos Hídricos – SRH – CE  
01 Cópia - Consórcio GOLDER-PIVOT

Setembro, 2000

009-5601-OS1-007

## SUMÁRIO

1.	<b>INTRODUÇÃO .. .. .. .. ..</b>	01
2	<b>GEOMORFOLOGIA</b>	01
	<b>2.1. Geomorfologia Regional. . . . .</b>	01
	<b>2.2. Geomorfologia Local .. .. .. .. ..</b>	03
3.	<b>GEOLOGIA</b>	03
	<b>3.1 Geologia Regional .. .. .. .. ..</b>	03
	<b>3.2 Geologia Local .. .. .. .. ..</b>	11
4.	<b>GEOTECNIA.. .. ..</b>	17
	<b>4.1. Investigações do Barramento e Vertedouro - Sondagens e Ensaios de campo ..</b>	17
	<b>4.1.1. Investigações realizadas nos estudos anteriores.. .. .. .. ..</b>	17
	<b>4.1.2 Investigações realizadas no estudo atual.. .. .. .. ..</b>	17
	<b>4.2. Modelo Geomecânico do maciço rochoso .. .. .. .. ..</b>	20
	<b>4.2.1 Descrição Geomecânica dos Testemunhos de Sondagem .. .. .. .. ..</b>	20
	<b>4.2.2 Planilhas de Classificação Geomecânica dos Testemunhos de Sondagem.</b>	24
	<b>4.2.3 Elaboração de Seções Geomecânicas .. .. .. .. ..</b>	48
	<b>4.2.4 Classificação Geomecânica do Maciço Rochoso.. .. .. .. ..</b>	48
	<b>4.2.5 Estratos Geomecânicos do Maciço .. .. .. .. ..</b>	49
	<b>4.2.6 Descontinuidades Estruturais do Maciço Rochoso .. .. .. .. ..</b>	49
	<b>4.2.7 Condições de Fundação e Tratamentos previstos. .. .. .. .. ..</b>	62
	<b>4.3 Materiais Naturais de Construção .. .. .. .. ..</b>	63
	<b>4.3.1 Materiais Terrosos .. .. .. .. ..</b>	63
	<b>4.3.2 Materiais Granulares .. .. .. .. ..</b>	70
	<b>4.3.3 Material Pétreo .. .. .. .. ..</b>	72
5.	<b>BIBLIOGRAFIA PESQUISADA.. .. .. .. ..</b>	72
6	<b>DESENHOS</b>	73

## 1. INTRODUÇÃO

A SECRETARIA DE RECURSOS HÍDRICOS DO ESTADO DO CEARÁ, através do seu SUBPROGRAMA DE DESENVOLVIMENTO SUSTENTÁVEL DE RECURSOS HÍDRICOS PARA O SEMI-ÁRIDO BRASILEIRO – PROÁGUA, contratou o CONSÓRCIO GOLDER-PIVOT para desenvolver o Estudo de Alternativas. Viabilidade e Projeto Básico da Alternativa Selecionada da Barragem de Arneiroz II, localizada no Rio Jaguaribe, Município de Arneiroz, situado no sudoeste do estado do Ceará

Os estudos geológico-geotécnicos levados a termo, objetivaram o levantamento das características geomecânicas da fundação da barragem, bem como a disponibilidade e as características dos materiais naturais de construção.

Os estudos geológicos de superfície envolveram trabalhos de fotointerpretação geológica, mapeamento geológico-geotécnico, reconhecimento de materiais naturais de construção e levantamentos e análise de geologia estrutural.

Os estudos geológicos de subsuperfície envolveram a execução de sondagens rotativas, sondagens a percussão, ensaios de permeabilidade *in situ* a carga constante, ensaios de perda d'água sob pressão e poços de inspeção. Uma campanha de ensaios de laboratório orientada à determinação e caracterização das propriedades físicas e geotécnicas dos materiais complementaram os estudos ora apresentados.

A análise dos resultados destes estudos e suas consequências no projeto da barragem são apresentados e discutidos no desenvolvimento deste relatório

## 2. GEOMORFOLOGIA

### 2.1 Geomorfologia Regional

A região onde se insere o empreendimento inclui, em sua parte mais baixa, setores de topografia predominantemente plana ou suavemente rampeada, que se orientam para os fundos dos vales. A fisionomia é conferida por feições de topografia aplainadas, decorrentes da pequena capacidade de incisão linear proporcionada pela rede de drenagem. As altitudes são inferiores a 200m.

À medida que as altitudes atingem cotas superiores (até 400m. ou, em raros casos, um pouco acima disso), há uma tendência generalizada para maior dissecação do relevo em feições morfológicas diversificadas. Dentre estas incluem-se formas de topos convexos, lombadas, morros, esporões e feições tabuliformes. Estas áreas, com aspecto de rampas degradadas eventualmente dissecadas, constituem patamares de acesso para os níveis elevados dos maciços residuais. Em sua maior parte, representam regiões que circundam os planaltos, marcando a transição entre estes e as terras baixas.

---

A vegetação predominante na região é constituída pela caatinga arbustiva aberta e pela floresta caducifólia espinhosa (caatinga arbórea).

Os solos pedológicos predominantes são os litólico eutrófico e distrófico, e o podzólico vermelho-amarelo eutrófico e distrófico bruno não cálcico.

A região, onde a semi-aridez é aguda e as caatingas têm distribuição extensiva, está inserida nas Depressões Sertanejas, com altitudes de no máximo 400 m, sendo detectadas, raramente, elevações superiores.

As litologias são representadas tanto por rochas do pré-Cambriano Superior como do pré-Cambriano Indiviso. Apesar da extrema complexidade litológica, as depressões sertanejas se apresentam como vastas superfícies de aplainamento, onde o trabalho erosivo truncou indistintamente essas rochas. Este fato não invalida, porém, o trabalho de erosão diferencial, que tende a colocar em destaque rochas resistentes, dissecando ou rebaixando mais intensamente os setores de litologias menos resistentes.

A topografia do sertão nem sempre tem aspecto aplainado, que tão bem caracteriza a superfície sertaneja. Nos locais em que a rede de drenagem se adensa, assumindo um padrão dentrítico, sem qualquer controle estrutural, o sulcamento linear tende a dissecar o relevo, dando ao mesmo feições onduladas

A morfologia das depressões sertanejas se evidencia através de vastas rampas sedimentares, que partem das bases dos maciços residuais, com cimento no sentido dos fundos dos vales.

O processo evolutivo dos sedimentos está intimamente ligado às características climáticas e de vegetação das depressões sertanejas semi-áridas. A par da aguda irregularidade das precipitações pluviométricas, as amplitudes diurnas de temperatura, afora o caráter caducifólio do revestimento florístico, têm intima associação com os processos morfogenéticos atuantes.

O clima semi-árido, além de ser o principal fator condicionante da desagregação das rochas, contribui para impor os processos de remoção dos colúvios e de deposição deste material a jusante da área fonte. O tipo de revestimento vegetal pouco contribui para deter ou atenuar os efeitos do escoamento difuso ou em lençol, que tem acentuado o seu papel de agente de desgaste. O material carreado seletivamente justifica o adelgaçamento dos solos, pouco espessos em toda a região, enquanto que os detritos grosseiros, impondo obstáculos à sua remoção, depositam-se em superfície, dando à mesma o aspecto de chão pedregoso. Quando este material é revestido por colúvio, se expande às áreas cujos solos apresentam linhas de seixos sotopostos aos horizontes superficiais dos solos

Resumidamente, e em função do exposto, pode-se dizer que a região apresenta as seguintes características geomorfológicas de maior relevância: grande variação litológica; truncamento indistinto das litologias por processos de morfogênese mecânica, que tenderam a aplinar a superfície; revestimento generalizado de caatinga com capacidade mínima para diminuir a ação de desgaste dos processos de erosão; pequena espessura de manto de alteração das rochas; ocorrência freqüente de pavimentos e paleopavimentos dentríticos; pequena capacidade de erosão linear em face da intermitência dos cursos de água, o que justifica a pequena amplitude

---

altimétrica entre os interflúvios e os fundos de vales; presença de altos residuais nos locais de maior resistência litológica; e desenvolvimento de áreas de acumulação inundáveis à jusante das rampas sedimentares.

## 2.2 Geomorfologia Local

A área objeto dos estudos está inserida na unidade geomorfológica denominada Planalto Sertanejo que comporta-se, de um modo geral, como um patamar de acesso aos níveis mais altos, uma vez que representa um degrau intermediário entre a Depressão Sertaneja e os topos dos Planaltos e Chapadas que o circundam.

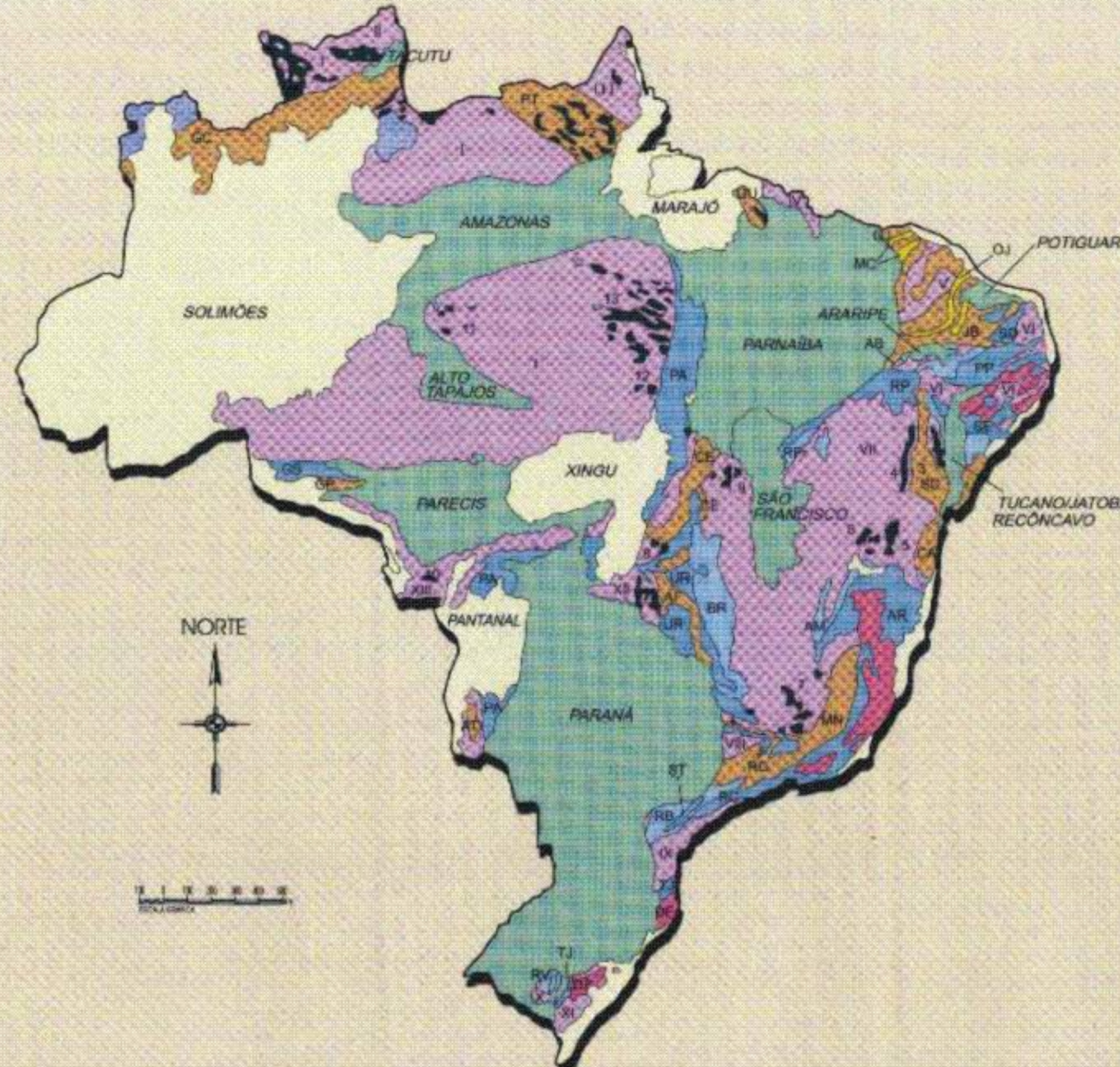
Morfologicamente caracteriza-se por uma intensa dissecação do relevo, resultando em formas predominantemente convexas e aguçadas, dispostas geralmente seguindo uma direção preferencial SO-NE e S-N. Trata-se de uma área de grandes dobramentos e falhamentos, que se refletem no relevo através de extensos alinhamentos de cristas, com escarpas íngremes e vales encaixados em "V"

O Planalto Sertanejo apresenta-se como importante centro dispersor de drenagem. Os rios que drenam este planalto possuem os cursos retilíneos, intercalados por curvas e ângulos anômalos, sendo marcados por inflexões bruscas em vários sentidos. Correm geralmente encaixados, não permitindo o desenvolvimento de planícies, salvo em pequenos trechos, principalmente nos setores em que interceptam litologias sedimentares. A maior parte do Planalto Sertanejo está incluída na categoria de "Serras Secas", submetidas às deficiências hídricas típicas do clima semi-árido.

## 3. GEOLOGIA

### 3.1. Geologia Regional

O estado do Ceará está inserido em parte da chamada Província Borborema, conforme conceituada por Almeida e outros (1981). Do ponto de vista geotectônico esta Província possui fragmentos crustais antigos bordejados por cinturões orogenéticos de idades paleoproterozóica e meso a neoproterozóicas e por sistemas de rifts mesoproterozóicos, neoproterozóicos e eopaleozóicos (Figura 3.1 e Figura 3.2).



### PRINCIPAIS FEIÇÕES TECTÔNICAS PRÉCAMBRIANAS DO BRASIL

FIGURA 3.1



Modificado do Mapa Tectono-Geológico do Brasil, preparado pela CPRM para a  
Obra "Economia Mineral do Brasil" editada em 1995 pelo DNPM

**Coberturas Cenozoicas**  
Cenozoic Cover

- Bacias Sedimentares Fanerozóicas  
Phanerozoic Sedimentary Basins
- Granitóides Neoprotterozóicos  
late Proterozoic Granites
- Granitóides Paleo a Mesoprotterozóicos  
Early to Middle Proterozoic Granites
- Sistemas de Rifts Meso a Neoprotterozóicos  
Middle to Late Proterozoic Rift Systems
- OJ - Orobá-Jaguaribe;  
MC - Médio Coreaú.

**Cinturões Móveis Neoprotterozóicos**  
late Proterozoic Mobile Belts

- SE - Sergipeano;  
AM - Aracuai-Macaubas;  
BR - Brasília;  
RP - Rio Preto;  
AB - Alto Brumado;  
RB - Ribeirão;  
RV - Riobrava-Vilacondé;  
DF - Dom Feliciano.

**Cinturões Móveis Meso a Neoprotterozóicos**  
Middle to Late Proterozoic Mobile Belts

- SD - Serrado;  
PP - Paleó-Paráiba;  
SE - Sergipeano;  
RP - Rio das Pontas;  
AR - Aracuai;  
RC - Riobrava-Costão;  
ST - Seteua;
- TJ - Tiucuru;
- UR - Urucu;
- RR - Alto Rio Grande;
- PA - Paraguaçu Araguá;
- GS - Cinturão de Cisalhamento Guaporé.

**Cinturões Móveis de Alto Grau Paleoprotterozóicos**  
Early Proterozoic High Grade Mobile Belts

- GC - Guiana Central;  
PT - Peru-Tumucumaque;  
GU - Gurupi;  
GJ - Granaí;  
JB - Jaguari-Beardo;
- SC - Salvador-Curupá;  
CA - Costa Atlântica;  
MN - Mantiqueira;  
AF - Afonas;  
CE - Ceará;  
GP - Goiás;  
AT - Alto Tocantins.

**Greenstones Belts e Cinturões Vulcanossedimentares Arqueanos e Paleoprotterozóicos**  
Early Proterozoic and Archean Volcano-Sedimentary and Greenstone Belts

- 1 - Cinturão Parima;
- 2 - Cinturão Peru-Tumucumaque;
- 3 - Greenstone belt Rio Rapacuru;
- 4 - Cinturão Itapicuru-Jacobina;
- 5 - Cinturão Contendas-Mirante;
- 6 - Greenstone belt Ibitira-Brunado;
- 7 - Greenstone belt Rio das Velhas;
- 8 - Greenstone belt Golda;
- 9 - Greenstone belt Natividade;
- 10 - Greenstone belt Jauru;
- 11 - Greenstone belt Tapajós;
- 12 - Greenstone belt Andorinhas-Serra do Itajaí;
- 13 - Cinturão Itacutuara;

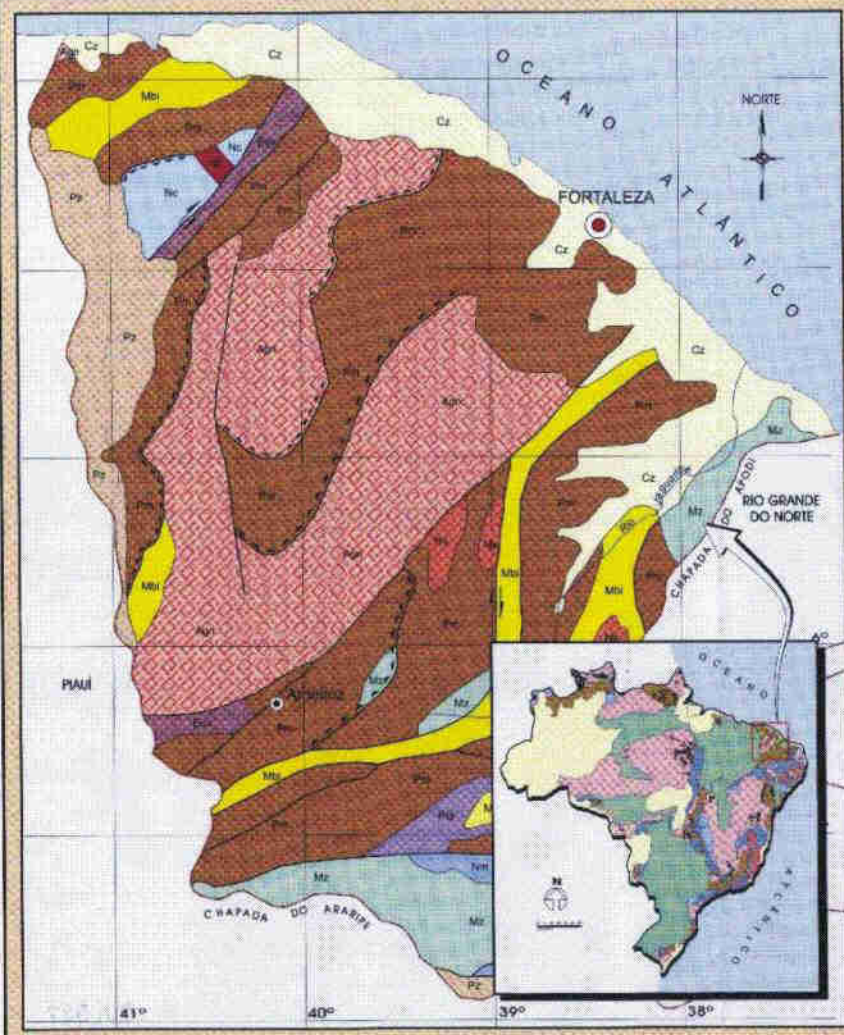
**Núcleos e Fragmentos Cratônicos Arqueanos**  
(Proterozoic Cover Removed)

**Archean Cratonic Nuclei and Fragments**

(Proterozoic Cover Removed)

- I - Cratônio Amazoniano;
- II - Núcleo Urubangua;
- III - Fragmento Diapoquê;
- IV - Fragmento São Luís;
- V - Fragmento Tróia;
- VI - Fragmentos do Nordeste;
- VII - Cratônio São Francisco;
- VIII - Maciço Guaxupé;
- IX - Fragmento Litorâneo Alvará;
- X - Fragmento Taquarimbo;
- XI - Fragmento Piskeiro Machado, engolido por granitos Neoprotterozóicos;
- XII - Maciço Góias;
- XIII - Núcleo Patimá.

00000000



### Cenozoico (< 65 Ma)

**Cenozoic**  
Cenozoic  
Cz Sedimentos ferruginosos, arenitos e rochas lateríticas  
Terraçooso arenito, dolomita e laterita

### Mesozoico (65 a 235 Ma)

**Mesozoic**  
Mz Sequência essencialmente terigena (arenito, siltito, argilito), calcário e gipsita  
Mostly terrigenous sequence (sandstone, siltstone, shale, limestone and gypsum)

### Paleozoico (235 a 460 Ma)

**Paleozoic**  
Pz Sequência essencialmente terigena (arenito, siltito, argilito), calcário e evaporito  
Mostly terrigenous sequence (sandstone, siltstone, shale, limestone and evaporite)

### Eocambriano (460 a 570 Ma)

**Eocambrian**  
Ec Cobertura e rochas igneas anorópticas  
Anorogenic igneous and cover rocks

### Neoproterozoico (570 a 650 Ma)

**Neoproterozoic**  
Np Sequência pelito-carbonatada (calcare, dolomita, marga e fôrmena), diamictito e arenito  
Pelitic-carbonate sequence (calcare, dolomite, mud and lime), diamictite and arenite,  
scarcely deformed and metamorphosed (lower greenish).

**Nm** Sequência filita-metacalcária (incluindo riva, metarenito e metacalcarenato)  
Sequence of phyllite and metacarbonate (including schist, metarenite and metacarbonate).

**Gp** Granitoides sard e post-tectónicos  
Late to post-tectonic granitoids

**Gt** Granitoides Sis e tectónicos  
Sis to tectonic granitoids

### Mesoproterozoico (1000 a 1800 Ma)

**Mesoproterozoic**  
Mtr Associações (meta) volcânicas-sedimentares pré-orogénicas, bimodal, tipo rift  
Pre-orogenic (meta) volcanic-sedimentary associations, bimodal, rift type

**Mf** Sequência arenítica com conglomerados e fôrmena, localmente deformada e metamorfizada (sub-greenish)  
Sequence of sandstone with conglomerates and shale, locally deformed and metamorphosed (lower greenish).

**Ma** Coberturas e rochas igneas anorópticas  
Anorogenic igneous and cover rocks

### Palaeoproterozoico (1800 a 2800 Ma)

**Palaeoproterozoic**  
Mtr Associações (meta) volcânicas-sedimentares pré-orogénicas, migmatito e granulito (incluindo quartzo, calcicarbonato e metacalcarenato)  
Gneiss, migmatite and granulite (including quartz, calcicarbonate and metacarbonate rocks)

**Mtr** Associações (meta) volcânicas-sedimentares pré-orogénicas, calcilito, lito-ovo  
Oxygen (meta) volcanic-sedimentary associations, calcilite, litho-ovo

### Arqueano (>2800 Ma)

**Archean**  
Agn Orogeneses (relevo e depressão), migmatito e granulito (incluindo metabásicas, arenito e relíquias de rochas hipermetamórficas )  
Orthogneiss (Stable and metastable), migmatite and granulite (including metabasic rocks, amphibolite and relics of hypermetamorphic rocks).

### SÍMBOLOS ESTRUTURAIS / STRUCTURAL SYMBOLS

Contato geológico / Geologic contact

====

Folda / Fold

=====

Folda de empréstimo / Thrust fold

-----

Folda intrincante / Strike-slip fault

ZONAS DE RETRIBALHAMENTO E SUPERPOÇÃO DE EVENTOS TECTÔNICOS  
REACTIVATION TECTONIC ZONE/SUPERPOSITION OF TECTONIC EVENTS

Evento recíclico tectônico  
Transversalmente histérico event

Mapa Tectono-Geológico Simplificado  
do Estado do Ceará

FIGURA 3.2

000009

### *Os fragmentos Crustais Antigos*

Os fragmentos crustais fariam parte de um núcleo cratônico primitivo que, embora afetado pelos eventos Transamazônico e Brasiliano, preservou sua assinatura arqueana. O fragmento de maior expressão é o denominado Maciço de Tróia, sendo constituído de ortognaisses e uma associação de gnaisses variados, bimodais-félsicos e máficos, sequências de rochas supracrustais metamáfico-ultramáficas, com finas intercalações de metassedimentos clástico-químicos. Dentre os principais tipos petrográficos que caracterizam esta unidade litoestratigráfica, além da ampla diversidade de gnaisses, podem ser citados leptinitos, anfibolitos, serpentinitos ricos em cromo, tremolita-antofilita-xistos, ultrabasitos, quatizitos, quartizitos ferríferos e rochas carbonáticas/dolomíticas e grafíticas. As rochas desta sequência supracrustal são interpretadas como pertencentes a uma associação metavulcanossedimentar do tipo *greenstone belt*.

Bordejando os núcleos cratônicos arqueanos encontram-se os cinturões paleoproterozóicos e as faixas móveis meso a neoproterozóicas.

### *Os Cinturões Paleoproterozóicos*

O cinturão paleoproterozóico Jaguaribeano compreende uma sequência de rochas supracrustais submetidas ao metamorfismo de fácies anfibolito superior, onde são reconhecidos três domínios litotectônicos: domínio oeste e norte, também chamado de zona externa, domínio central ou zona interna e, domínio leste e sul.

No domínio oeste e norte predominam associações de rochas metassedimentares, originados em um ambiente de margem continental passiva, sendo representado por quartizitos, metacarbonatos, xistos e paragnaisses granatíferos, parcialmente migmatizados.

No domínio central a sequência supracrustal metassedimentar e metavulcânica foi progressivamente migmatizada, resultando na geração de granitos anatáticos (granitos do tipo S) e migmatitos, que ocorrem em associações com gnaisses aluminosos e peraluminosos.

Por fim, no domínio leste (Maciço de Rio Piranhas) e sul, predominam as suites granitóides (ortognáissicas) envolvendo vestígios de rochas supracrustais (anfibolitos, xistos, gnaisses, rochas calcissilicáticas e formações ferríferas), localmente preservadas. Esta suíte de rochas ortognáissicas granitóides são interpretadas como derivadas de uma série calcialcalina de arco magmático tipo Andino, onde suítes sódicas dominam ao oeste e potássicas ao leste.

Em termos de tectônica, dois estilos estruturais são caracterizados para a região geológica em apreço, provavelmente referentes a dois eventos tectônicos distintos. O evento mais antigo é denominado de Transamazônico sendo responsável por uma deformação em regime compressivo, tangencial, dúctil, associado a metamorfismo de alto grau, que progrediu até a fácies anfibolito superior. O evento mais recente é denominado de Brasiliano e caracterizado por uma tectônica transcorrente dextral, com metamorfismo de baixo grau, fácies xistoverde, restrito às proximidades das zonas de cisalhamento.

### *As faixas Móveis Meso a Neoproterozóicas*

Os cinturões móveis meso a neoproterozóicos constituem um sistema ramificado de faixas orogênicas situado entre o domínio Jaguaribiano, consolidado no Transamazônico, e o cráton do São Francisco. Essas faixas são limitadas por expressivas zonas de cisalhamento e envolvem na sua arquitetura fragmentos arqueanos e paleoproterozóicos. Os diversos segmentos desse sistema recebem designações próprias de cinturões (ou faixas), como Seridó, Pajeú-Paraíba, Sergipano, Riacho do Pontal e Piancó-Alto Brígida. As rochas supracrustais desses cinturões compreendem duas sequências de idade mesoproterozóica (sedimentação terrígena e menos carbonática, com alguma contribuição vulcânica, e vulcanismo bimodal) e outra de idade esteniano-neoproterozóica, assentada disconcordantemente sobre as anteriores, sendo apenas localmente preservado, devido a subsequente ascenção e erosão. Estes cinturões, no entanto não tem distribuição significativa no estado do Ceará.

### *Os Rifts Mesoproterozóicos*

Sucedendo à estabilização e cratonização do cinturão Jaguaribeano no Transamazônico ocorreu um importante evento extensional, que aproveitando as estruturas paleoproterozóicas existentes, acabaram por originar um sistema de *rifts* do Mesoproterozóico, onde estreitas faixas limitadas por falhas foram preenchidas por sequências metavulcanossedimentares, com vulcanismo bimodal ou do tipo felsico.

O sistema de *rift* de Orós-Jaguaribe contém uma espessa sequência vulcanossedimentar, constituída por metassedimentos psamíticos, associados a magmatismo intraplaca, sucedidos por sequência turbidítica, intrudidos por metagabros e ortognaisse graníticos. Já no segmento oriental desse sistema predominam as rochas plutonovulcânicas aos metassedimentos. O início da fase distensiva é indicada por rochas vulcânicas e subvulcânicas em 1,7Ga. O regime tectônico é transpressivo e exibe estruturas de três fases de deformação, atingindo a segunda condições metamórficas de fácies anfibolito, enquanto as outras duas de fácies xistoverde.

No sistema de *rift* do Médio Coreaú, o *Graben* de Martinópole é preenchido por uma sequência metassedimentar marinha, transgressiva e encerra evidências de uma tectônica transpressiva dextral, com estruturação final em forma de flor positiva. As idades radiométricas indicam influência dos eventos Uruaçuano e Brasiliano.

### *Os Rifts Neoproterozóicos*

A reativação do sistema de falhas mesoproterozóico, em regime transcorrente, gerou bacias transtensivas do tipo *pull-apart*, afetando principalmente o sistema de *rift* do Médio Coreau. No *Graben* de Martinópole foi depositada a sequência cuprifera de Pedra Verde, que é distinguida do Grupo Martinópole, sotoposto e de idade mesoproterozóica, pelo seu menor grau de metamorfismo e deformação, sendo constituída por metapelitos e metamargas.

No *Graben* de Ubajara é preservada uma sequência sedimentar terrígeno-carbonática, marinha (grupo Ubajara), que representa um ciclo completo de sedimentação, transgressivo-regressivo

### As Bacias Eopaleozóicas

As primeiras bacias do tipo *pull-apart* formadas no Fanerozóico estão ligadas à reativação, em regime rúptil, das falhas transcorrentes, sendo preenchidas por uma sequência de sedimentos molássicos continentais em ambiente oxidante. As rochas sedimentares, tipicamente de cores vermelhas, exibem intercalações de vulcânicas alcalinas, ácido a intermediário, pós-Brasiliense (datados de 520Ma a 480Ma), que por sua vez são intrudidas por granitos subvulcânicos alcalinos. Estas últimas bacias, ligadas à evolução do Evento Brasiliense (Cacoci, Jaibaras e outras menores) foram deformadas por uma tectônica vertical rúptil e/ou transcorrente, dextral.

A Figura 3.3 sintetiza a estratigrafia e a Figura 3.4 a geologia e os recursos minerais simplificados do estado do Ceará.



**Coluna Estratigráfica Simplificada  
do Estado do Ceará**

**PIVOT**

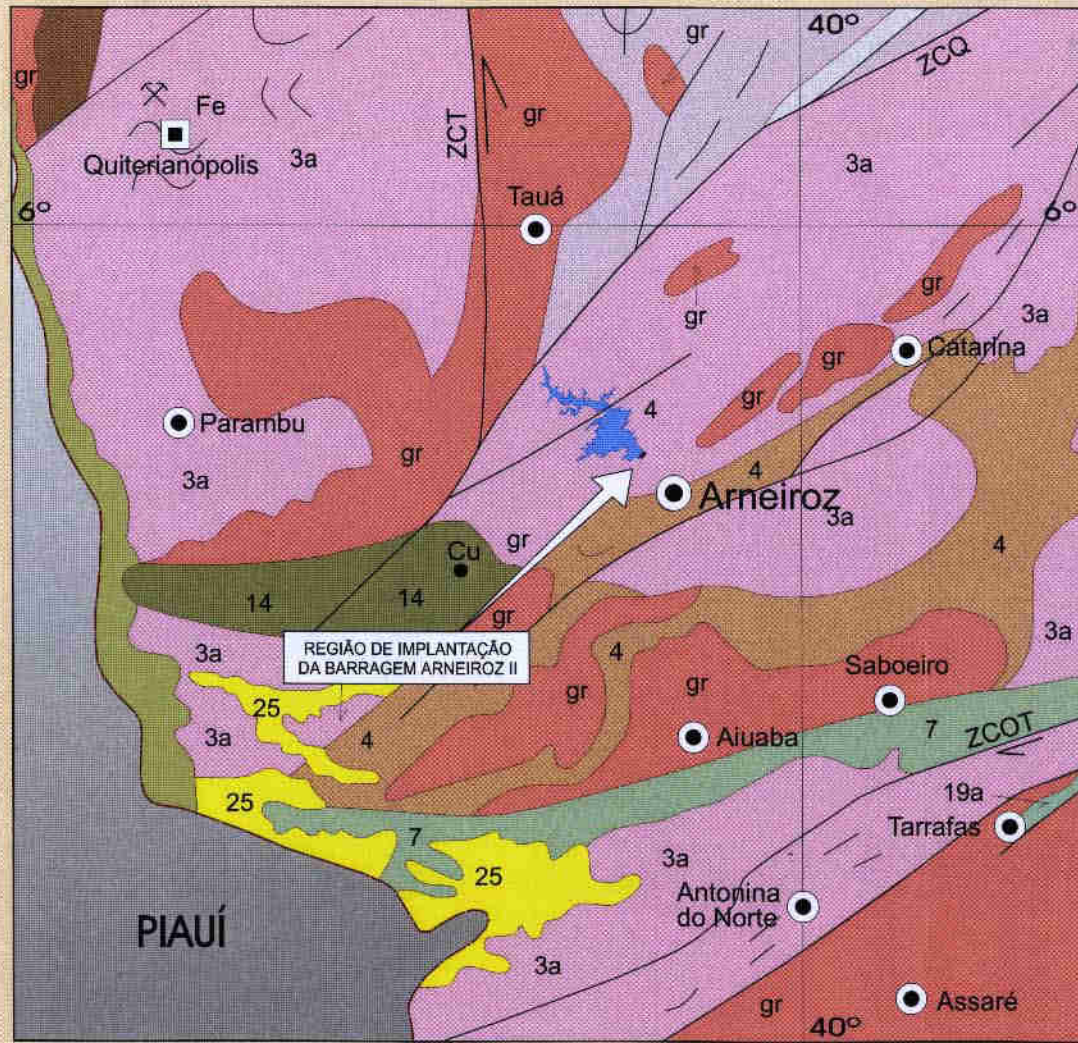
**FIGURA 3.3**

<b>Período</b>	<b>Grupo</b>	<b>Formação</b>
Quaternário		Aluviões, dunas, areias, etc
Terciário	Barreiras	Serra do Martins
		Basaltos e diabásios
Cretáceo	Sup Apodi	Jandaíra e Açu
	Araripe	Santana Itapecuru Exu
	Inf Rio do Peixe e Iguatu	
Jurássico		Orozimbo Sergi e Aliança
Carbonífero		Piauí e Poti
Devoniano	Sup Médio	Longá Cabeças Pimenteiras
	Inf	
Siluriano		Serra Grande e Tacaratu
Ordoviciano		Apraível Parapuí
Cambriano	Jaibaras	Pacujá (Jucá) Massapê
		Granito Meruoca
Pré-Cambriano*	Bambuí	Coreau Frecheirinhas Caiçaras Trapiá
A	Cachoeirinha	
	"Serido"	Seridó Surucutu Equador
	Salgueiro e Ceará	
Pré-Cambriano C	Caico e Uauá	
Pré-Cambriano Indiviso	Complexos Gnaissse-Migmatítico E Magmatítico-Granítico	Granitos, sienitos, gabros E dioritos

\* A divisão adotada para o Pré-Cambriano é a seguinte

Pre-Cambriano A (570 – 1 100 Ma). Pre-Cambriano B (1 100 – 1 700 Ma). Pre-Cambriano C (1 700 – 2 200 Ma) e Pre-Cambriano D (>2 200 Ma)

FONTE Carta Geológica do Brasil ao Milionésimo – Folhas Jaguaribe e Fortaleza Texto Explicativo MME. Brasília, 1974

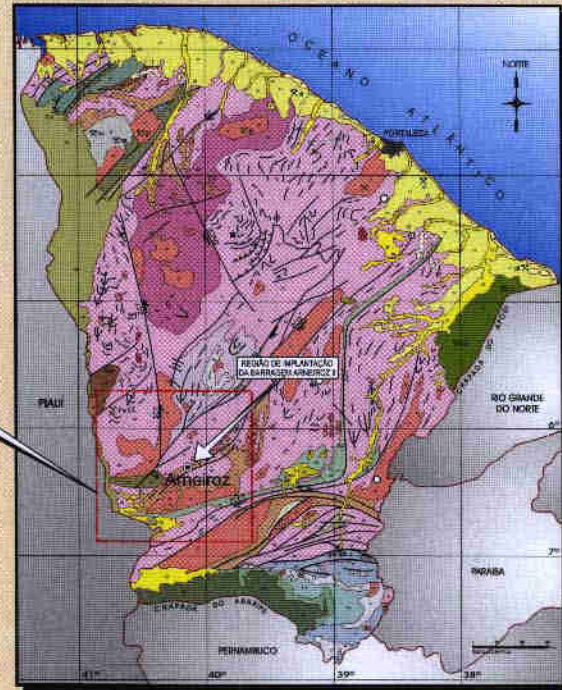


### COLUNA ESTRATIGRÁFICA SIMPLIFICADA DO ESTADO DO CEARÁ

C	Q	25	Ac	24	D
	TQ	23	M	22	F
	T			21	
M	K	19	Ap	A	21a
	JK	17	RP	18	1
P	SD	15	SG	18	C
	€O	12	GU	17	RJ
PC	MS	11	da		GI
	I	4	Ce	GC	GO
		1	PB	2	UT
			3	1	G
				7	M
				8	SJ
				9	NO

### PRINCIPAIS JAZIDAS E DEPÓSITOS MINERAIS

Am	- Água Mineral
ba	- Barita
ca	- Calcário
Cr	- Cromo
Cu	- Cobre
di	- Diabásito
Fe	- Ferro
gp	- Gipsita
gr	- Granito Ornamental
mg	- Magnesita
Mn	- Manganês
pb	- Pedra Britada
pg	- Pegmatito
Ru	- Rutílio
U.P.	- Urânio, Fosfato



### 3.2 Geologia Local

A região do futuro barramento do açude de Arneiróz-II encontra-se predominantemente representada por rochas gnássicas e migmatíticas que, juntamente com outras áreas pré-cambrianas, compõem o embasamento das sequências supracrustais e representariam os fragmentos crustais antigos.

As datações Rb/Sr, convencionais e isocrônicas em rocha total, efetuadas nas rochas gnássicas indicam idades de 2.760Ma a 517Ma e as datações K/Ar em rocha total e em minerais, de 670Ma a 400Ma, que sugerem para estas rochas idades arqueanas e retrabalhamentos nos ciclos Transamazônico e Brasiliano

Os gnaisses apresentam-se, no geral, fortemente afetados pelos processos de migmatização, podendo, no entanto, apresentarem, localmente, porções leucocráticas graníticas rosadas (neossomas ?), como no furo SM-01 (FOTO-01), o que deve caracterizar condições variadas de temperaturas e pressões em torno da média.

Exibem tonalidades cinza-claro a cinza-escuro, às vezes em tons azulados, com alternância de bandas escuras milimétricas a centímetricas enriquecidas em minerais maficos intercaladas por bandas claras quartzo-feldspáticas. A granulação é principalmente equigranular média, podendo passar a equigranular fina.

O padrão estrutural é relativamente complexo com planos de foliação intensamente contorcidos, formando, dentre outros tipos, dobramentos isoclinais e recumbentes, com eixos eixos incinados, verticais e horizontais. Terminações branquiformais são frequentemente observadas, assim como zonas cisalhadas e milonitzadas (FOTO 2) A foliação principal, aqui denominada de Sn, apresenta-se, geralmente, com direção NE-SW, com caimentos suaves, cerca de 16° a 32°, ou caimentos de médio ângulo, em torno de 60°-70°, estes últimos principalmente na região do leito do rio ou, localmente, nas ombreiras (FOTO 3). Os caimentos são para NW a SE, passando pelo quadrante NE.

O caráter local do mapeamento executado aliado à falta de continuidade dos afloramentos visitados não possibilitou tecer maiores considerações estruturais a respeito das relações de geometria e gênese desta foliação com a Transcorrência Arneiroz -Senador Pompeu, a não ser pela coincidência entre o trend geral para NE tanto da foliação encontrada na área quanto da referida estrutura transcorrente e ainda, pela própria proximidade de ocorrência da estrutura.



FOTO 1 – Detalhe do testemunho do furo SM-01A mostrando porções leucocráticas do gnaisse.



FOTO 2 – Zona milonitizada no leito do rio Jaguaribe. Notar o espaçamento das fratura NW-SE.  
A bússola encontra-se orientada para norte.



FOTO 3 – Traço da foliação subverticalizada no leito do rio Jaguaribe.

---

Os indicadores cinemáticos encontrados, como sigmóides de foliação S-C e dobramentos isoclinais indicam, em planta, cinemática dextral, sendo também, no entanto, encontradas estruturas que indiquem movimento sinistral.

O sistema de juntas e fraturas apresentam quatro direções preferenciais, a saber: N86°E/65°NW, N84°W/88°SW, N48°E/85°SE e, finalmente, N14°W/89°NE. Este último conjunto, oscilando aproximadamente na direção NS, parece estar associado ao desenvolvimento de uma foliação secundária à foliação principal Sn, o que, por sua vez, denota o caráter progressivo da deformação impressa nessas rochas (Foto 4). Nas porções subsuperficiais as fraturas de ambos os conjuntos apresentam-se parcialmente abertas e preenchidas por sedimentos recentes (Fotos 5 e 6).

No leito do rio Jaguaribe os depósitos aluviais encontram-se preenchendo as calhas em torno dos afloramentos rochosos com espessuras que não devem ultrapassar 3m. Constituem-se basicamente de areias médias a grossas, com alguma quantidade de areia fina e cascalhos (Foto 7).

Além dos aluviões do leito do rio, depósitos coluvionares de espessuras extremamente reduzidas, centimétricos, podem ser encontrados nas encostas, tanto da ombreira esquerda quanto da direita. Os solos residuais e saprolíticos são também muito pouco espessos, da ordem de algumas dezenas de centímetros.

A ocorrência e distribuição dos materiais encontrados no mapeamento geológico-geotécnico local, bem como os resultados das fotointerpretações geológicas encontram-se representados no desenho II-3-02/05-000. O desenho II-3-01/05-000 refere-se às convenções e legendas adotadas neste trabalho



FOTO 4 – Desenvolvimento de uma foliação secundária indicando deformação progressiva com posterior relaxamento, abertura e preenchimento por material superficial siltoso. Notar descoloração e processos de alteração a partir das superfícies das descontinuidades.



FOTO 5 – Visão geral das fraturas leste-oeste, com aberturas superficiais e preenchimento fino (foto com vista para sudeste).

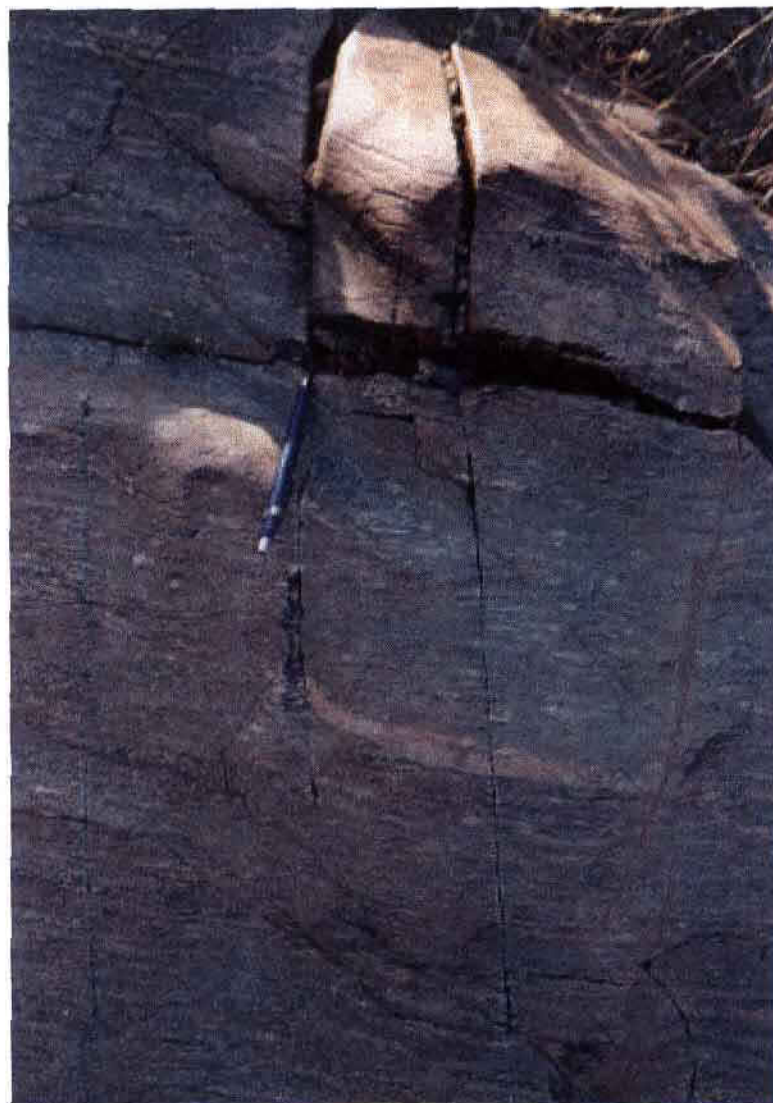


FOTO 6 – Detalhe das fraturas NS com aberturas superficiais e entulhamento por sedimentos de variada granulometria. Afloramentos nas proximidades do PT-09, leito do rio.



FOTO 7 – Visão geral do aluvião contornando os afloramentos gnáissicos do leito do rio Jaguaribe (vista para sul-sudeste).

## 4. GEOTECNIA

### 4.1 Investigações do Barramento e Vertedouro – Sondagens e Ensaios de Campo

#### 4.1.1 Investigações Realizadas nos Estudos Anteriores

As campanhas de sondagens realizadas anteriormente à atual fase de estudos de viabilidade da barragem de Taquara estão resumidas na Tabela 4.1. Foram realizadas 18 (dezoito) sondagens rotativas num total de 231,95m perfurados. Cabe-nos aqui salientar que os dados das campanhas anteriores foram utilizados somente quando da não disponibilidade de dados recentes.

#### 4.1.2 Investigações Realizadas no Estudo Atual

Para o desenvolvimento da atual fase de estudos foi realizada uma campanha de sondagens rotativas, sondagens a percussão e perfuração de poços de inspeção que subsidiaram os estudos de caracterização geológico-geotécnica e geomecânica aqui desenvolvidos (Tabelas 4.2 e 4.3).

**TABELA 4.1**
**INVESTIGAÇÕES ANTERIORES À CAMPANHA ATUAL**

FUBO	PROF. (m)	COORDENADAS		COTA (m)	LOCAL / ESTACA	DATA TÉRMINO	EXECUTORA
		N	E				
<b>PRIMEIRA CAMPANHA DE SONDAGENS</b>							
SR-1	10,00	9 307 312,2339	364 940,3774		EST 62+17,00m (EIXO)	14/08/1992	ÁGUA SOLOS
SR-2	10,00	9 307 209,2534	364 997,9883		EST 57+0,00m (EIXO)	30/07/1992	ÁGUA SOLOS
SR-3	15,00	9 307 071,3642	365 075,1283		EST 49+0,00m (EIXO)	28/07/1992	ÁGUA SOLOS
SR-4	18,00	9 306 948,3112	365 143,9685		EST 42+0,00m (EIXO)	24/07/1992	ÁGUA SOLOS
SR-5	18,00	9 306 988,3466	365 051,6746		EST 46+0,00m 60,00m Montante Aluvião	24/07/1992	ÁGUA SOLOS
SR-6	15,00	9 307 056,6985	365 173,8548		EST 46+0,00m 80,00m Jusante Aluvião	28/07/1992	ÁGUA SOLOS
SR-7	10,00	9 306 652,4369	365 180,4195		EST 25+12,00m (EIXO) Sangradouro	20/08/1992	ÁGUA SOLOS
SR-8	15,00	9 306 234,8311	365 228,2755		EST 2+10,00m (EIXO) Sangradouro	17/08/1992	ÁGUA SOLOS
SR-9	10,00	9 306 219,2750	365 285,1878		EST 2+10,00m 60,00m Jusante Od Sangradouro	20/08/1992	ÁGUA SOLOS
SR-10	10,00	9 306 700,2691	365 198,1136		EST 28+3,00m (EIXO) Sangradouro	21/08/1992	ÁGUA SOLOS
SR-11	9,00	9 306 632,2896	365 234,8077		EST 25+12,00m 60,00m Jusante Sangradouro	24/08/1992	ÁGUA SOLOS
SR-12	10,00	9 306 593,3600	365 158,5353		EST 22+9,00m (EIXO) Sangradouro	26/08/1992	ÁGUA SOLOS
SR-13	9,00	9 306 611,1001	365 292,0092		EST 25+12,00m (EIXO) 120,00m Jusante Sangradouro	27/08/1992	ÁGUA SOLOS
SP-1		9 307 034,3902	365 050,0011		EST 48+0,00m 40,00m Montante	20/07/1992	ÁGUA SOLOS
SP-2		9 307 083,2130	365 137,2728		EST 48+0,00m 60,00m Jusante	21/07/1992	ÁGUA SOLOS
SP-3		9 307 014,2590	365 175,8259		EST 44+0,00m 60,00m Jusante	21/07/1992	ÁGUA SOLOS
SP-4		9 306 965,4362	365 088,5543		EST 44+0,00m 40,00m Montante	20/07/1992	ÁGUA SOLOS

**TABELA 4.2**  
**QUADRO COM O RESUMO DA ATUAL FASE DE INVESTIGAÇÕES**

FURO	PROF. (m)	COORDENADAS		COTA (m)	LOCAL/ESTACA	DATA TÉRMINO	EXECUTORA
		N	E				
<b>SEGUNDA CAMPANHA DE SONDAGENS</b>							
SM-01	10,40	9 307 105,4001	365 056,0875	343,72	EST 51+0,00m (EIXO)	08/03/2000	MINAS SOLOS
SM-01A	20,00	-	-	343,89	EST 51+2,00m (EIXO)	30/03/2000	MINAS SOLOS
SM-02	11,75	9 307 026,8557	365 100,0280	343,45	EST 46+0,00m (EIXO)	04/03/2000	MINAS SOLOS
SM-03	10,00	9 307 262,4890	364 968,2064	355,38	EST 60+0,00m (EIXO)	26/03/2000	MINAS SOLOS
SM-04	4,60	9 306 904,6754	365 168,3799	354,98	EST 39+10,00m (EIXO)	06/03/2000	MINAS SOLOS
SM-05	7,50	9 307 437,2377	364 871,3870	363,81	EST 70+0,00m (EIXO) - OE	12/03/2000	MINAS SOLOS
SM-06	5,00	9 306 880,2640	365 124,7441	352,48	EST 39+10,00m - 50,00m MONT - OD	09/03/2000	MINAS SOLOS
SM-07	5,00	9 306 924,2045	365 203,2885	353,18	EST 39+10,00m - 50,00m JUS - OD	04/03/2000	MINAS SOLOS
SM-08	11,00	9 306 843,5853	365 202,5558	363,57	EST 36+0,00m (EIXO)	16/03/2000	MINAS SOLOS
SM-09	7,90	9 306 734,9571	365 210,9878	371,00	EST 30+0,00 (EIXO) - ALTERN SANGRADOURO	17/03/2000	MINAS SOLOS
SM-10	8,70	9 306 457,7756	365 157,3504	368,60	EST 15+0,00m (EIXO) - OD - SANGRADOURO	10/03/2000	MINAS SOLOS
SM-11	5,22	9 306 477,5818	365 192,1026	366,08	EST 15+0,00m - 40,00m JUS - OD	12/03/2000	MINAS SOLOS
SM-12	5,11	9 306 507,2911	365 244,2308	361,68	EST 15+0,00m - 100,00m JUS - OD	15/03/2000	MINAS SOLOS
SM-13	10,88	9 306 370,8952	365 206,8659	370,84	EST 10+0,00m - SANGRADOURO	07/03/2000	MINAS SOLOS
SM-14	7,15	9 306 428,0663	365 105,2221	365,96	EST 15+0,00m - 60,00m MONT - OD - SANGR	17/03/2000	MINAS SOLOS
SM-15	7,00	9 306 602,6313	365 193,9619	373,20	EST 23+10,00m - 30,00m JUS - OD - SANGR	22/03/2000	MINAS SOLOS
SP-01	2,12	9 307 060,5086	365 097,9627	342,00	EST 48+15,00m	05/03/2000	MINAS SOLOS
<b>TOTAL</b>	<b>139,33</b>						

**TABELA 4.3**  
**POÇOS DE INVESTIGAÇÃO EXECUTADOS**

Nº POÇO	ESTACA	PROFOUNDIDADE (m) ver nota
P1	16 + 00	0,60
P2	16 + 40	0,68
P3	16 + 80	0,36
P4	16 + 120	0,60
P5	16 + 160	0,20
P6	18 + 00	0,64
P7	18 + 40	0,00
P8	18 + 80	0,52
P9	18 + 120	0,10
P10	18 + 160	0,30
P11	19 + 00	0,86
P12	20 + 20	0,80
P13	20 + 40	0,30
P14	20 + 60	0,46
P15	20 + 80	0,50
P16	20 + 100	0,70
P17	33 - 00	0,60
P18	34 - 00	0,30
P19	37 - 00	1,20

**Nota:** Os poços foram interrompidos quando atingiu-se o topo rochoso

## 4.2 Modelo Geomecânico do Maciço

Para a elaboração do modelo geomecânico do maciço foram desenvolvidas as seguintes atividades: descrição dos testemunhos de sondagens, elaboração de seções geomecânicas e classificação do maciço

### 4.2.1 Descrição Geomecânica dos Testemunhos de Sondagens Existentes

A caracterização geotécnica dos testemunhos de sondagem, foi realizada nos furos SM-01 a SM-15. Os furos SM-16, SM-17 e SM-19, localizados em uma das alternativas para o vertedouro foram descartados devido à própria mudança na região de implantação da estrutura.

Os testemunhos de sondagens foram descritos segundo os conceitos sugeridos pela ISRM (International Society for Rock Mechanics - 1981), juntamente com as classificações de Bieniawski (1989).

A Tabela 4.4 apresenta os graus de alteração, a Tabela 4.5 os graus de resistência e a Tabela 4.6 a classificação de Bieniaswski (1989), adotados na descrição dos testemunhos.

**TABELA 4.4**  
**GRAUS DE ALTERAÇÃO**

<b>GRAU</b>	<b>TERMO</b>	<b>DESCRIÇÃO</b>
A1	Rocha Sã	Alteração mineralógica nula a incipiente Minerais preservam brilho original, cor e clivagem Eventual descoloração nas descontinuidades Foliação visível e selada Resistência original da rocha não afetada pela alteração
A2	Rocha Pouco Alterada	Alteração mineralógica perceptível, cores esmaecidas e perda do brilho Leve descoloração e oxidação na matriz e ao longo das descontinuidades Foliação visível e selada Juntas fechadas, paredes ligeiramente alteradas Resistência original da rocha parcialmente afetada pela alteração
A3	Rocha Moderadamente Alterada	A matriz apresenta-se descolorida, com evidências de oxidação Juntas abertas ( $< 1.0$ mm) e oxidadas, podendo ocorrer material mais alterado ao longo das descontinuidades Foliação realçada pelo intemperismo Resistência afetada pelo intemperismo
A4	Rocha Muito Alterada	Alteração mineralógica muito acentuada, alguns minerais parcialmente decompostos em argilo-minerais Matriz totalmente oxidata e cores muito modificadas Fraturas abertas ( $2 < e < 5$ mm) e oxidadas, preenchidas por materiais alterados Foliação realçada pelo intemperismo Desplacamentos ao longo da foliação Resistência muito afetada pela alteração
A5	Rocha Completamente Alterada	Todo o material está completamente alterado para solo estruturado Extremamente descolorido, minerais resistentes quebrados e outros transformados em argilo-minerais Foliação preservada Juntas não discerníveis Desintegra em água após um período de imersão

**Referência:** Adaptado de Brown, 1981 "Suggested Methods for Rock Characterization Testing and Monitoring" - ISRM

**TABELA 4.5**  
**GRAUS DE RESISTÊNCIA / COERÊNCIA**

<b>GRAU</b>	<b>DESCRIÇÃO</b>	<b>CARACTERÍSTICAS</b>	<b>RESISTÊNCIA UNIAXIAL (σC) ESTIMADA (Mpa)</b>
R0	Extremamente Branda e Solo Estruturado Coesivo, Rijo a Duro	<ul style="list-style-type: none"> <li>- Penetrada pela ponta do dedo polegar</li> <li>- Moldada pelas mãos</li> <li>- Facilmente penetrada pelo canivete e martelo de geólogo</li> <li>- Escavada por equipamento manual</li> </ul>	0,25 - 1,0
R1	Muito Branda	<ul style="list-style-type: none"> <li>- Esmigalha-se facilmente sob o impacto de martelo de geólogo</li> <li>- Indentada facilmente pela ponta fina do martelo de geólogo</li> <li>- Riscada e raspada facilmente pelo canivete</li> <li>- Deslocamentos ao longo da folhação sob pressão dos dedos</li> <li>- Bordas dos fragmentos facilmente quebradas pela pressão dos dedos</li> <li>- Pequenos fragmentos (2 x 2 x 2 cm) não quebram sob pressão dos dedos</li> <li>- Escavação por equipamentos mecanizados</li> </ul>	1,0 - 5,0
R2	Rocha Branda	<ul style="list-style-type: none"> <li>- Quebra-se sob único impacto do martelo</li> <li>- Indentação rasa sob impacto firme da ponta fina do martelo de geólogo</li> <li>- As bordas dos fragmentos podem ser quebradas pela pressão dos dedos</li> <li>- A lâmina do canivete provoca sulco acentuado na superfície do fragmento</li> <li>- Podem ser raspadas pelo canivete</li> <li>- Escavação por equipamentos mecanizados, exigindo em alguns casos, fogo de afrouxamento do maciço</li> </ul>	5,0 - 25,0
R3	Medianamente Resistente	<ul style="list-style-type: none"> <li>- Espécimes de mão podem ser quebrados sob poucos golpes firmes do martelo de geólogo</li> <li>- Bordas finas dos fragmentos podem ser quebradas pelas mãos com certa dificuldade</li> <li>- Superfície pouco riscável por lâmina de aço</li> <li>- Não pode ser raspada pelo canivete</li> <li>- Escavada por desmonte a fogo</li> </ul>	25,0 - 50,0
R4	Resistente	<ul style="list-style-type: none"> <li>- Espécimes de mão requerem alguns golpes do martelo para serem quebrados</li> <li>- Bordas dos fragmentos difícilmente quebradas pelas mãos</li> <li>- Superfície difícilmente riscada pelo canivete</li> <li>- Escavada por desmonte a fogo</li> </ul>	50,0 - 100,0
R5	Muito Resistente	<ul style="list-style-type: none"> <li>- Espécimes de mão requerem muitos golpes do martelo para serem quebrados</li> <li>- Fragmentos possuem bordas cortantes que resistem ao corte por lâmina de aço</li> <li>- Superfície praticamente não riscada pelo canivete</li> <li>- Escavada por desmonte a fogo</li> </ul>	100 - 250
R6	Extremamente Resistente	<ul style="list-style-type: none"> <li>- Espécime somente lascados com uso do martelo</li> </ul>	> 250

**Referência:** Adaptado de Brown. 1981 "Suggested Methods for Rock Characterization Testing and Monitoring" - ISRM

**TABELA 4.6**  
**CLASSIFICAÇÃO RMR (BIENIAWSKI, 1989)**

Resistência da rocha intacta	Índice puntiforme (MPa)	10	4 - 10	2 - 4	1 - 2	Utilizar compressão simples		
	Compressão simples (MPa)	250	100 - 250	50 - 100	25 - 50	15 - 25	1 - 15	1
Peso Relativo		15	12	7	4	2	1	0
RQD (%) (Designação de Qualidade da Rocha)		90 - 100	75 - 90	50 - 75	25 - 50	< 25		
Peso Relativo		20	17	13	8	3		
Espaçamento de fraturas	> 2 m	0,6 - 2 m	200 - 600 mm	60 - 200 mm	< 60mm			
Peso Relativo		30	25	10	8	5		
Condições das fraturas		Superfícies muito rugosas não contínuas fechadas. paredes duras	Superfícies pouco rugosas abertura < 1 mm. paredes duras	Superfícies pouco rugosas. abertura < 1 mm. paredes moles	Superfícies estriadas ou preenchimento < 5 mm ou abertura 1 - 5 mm, contínuas	Preenchimento mole > 5 mm ou abertura > 5 mm. contínuas		
Peso Relativo		30	25	20	10	0		
Água subterrânea	Infiltração em 10 m de túnel (l/min)	Nenhuma (ou)	< 10	< 25 (ou)	25 - 125 (ou)	> 125 (ou)		
	Relação [ pressão de água na fratura / tensão principal máxima ]	0 (ou)	< 0,1	0,1 - 0,2 (ou)	0,2 - 0,5 (ou)	0,5 (ou)		
	Condições gerais	Completamente seco		Umidade	Água sob pressão moderada	Problemas graves de água		
Peso Relativo		10		7	4	0		
<b>Ajuste para orientação das descontinuidades</b>								
Direção e mergulho		Muito favorável	Favorável	Aceitável	Desfavorável	Muito desfavorável		
Peso Relativo	Túneis	0	-2	-5	-10	-12		
	Fundações	0	-2	-7	-15	-50		
	Taludes	0	-2	-25	-50	-60		
<b>Classes do maciço rochoso</b>								
Classe		I	II	III	IV	V		
Descrição		Muito bom	Bom	Regular	Pobre	Muito pobre		
Soma dos Pesos		100 - 81	80 - 61	60 - 41	40 - 21	20		
<b>Significado das classes</b>								
Classe		I	II	III	IV	V		
Tempo médio de auto-sustentação		10 anos	6 meses	1 semana	5 horas	10 minutos		
Vôo da seção (m)		15	10	5	2,5	1,0		
Coesão (KPa)		> 400	400 - 300	300 - 200	200 - 100	< 100		
Ângulo de atrito (°)		> 45	35 - 45	25 - 35	15 - 25	< 15		

#### 4.2.2 Planilhas de Classificação Geomecânica dos Testemunhos de Sondagens

A seguir são apresentadas as planilhas de classificação geomecânica dos testemunhos de sondagem da atual campanha dos estudos

## PLANILHA DE CLASSIFICAÇÃO - BIENIAWSKI SISTEMA RMR

NOTA Sempre medir superfícies da base do testemunho

Seção A - A  
 Furo Nº SM-01 A  
 Inclinação VERTICAL  
 Azimute ---  
 Elevação 343,89m

Data de Execução 08/03/2000  
 Tipo de Sondagem MISTA  
 Empresa MINAS SOLOS

Norte 9 307 105,4001  
 Leste 365 056,0875  
 Diâmetro do Testemunho NX



De	ate	Tipo de Rocha	TCR (%)	RQD (%)	Número	Tipo	Forma	Rugosidade	Preenchimento	Cond.	Nível D' agua	Resistência	Alteração	Dur /Merg	Faturamento	RMR	Classe Número	Observações
0.00	4.30	SOLO										R1	A5				V	Nível d agua a 1,30m
4,30	5.10	Gnaisse	100	0	7	J	P	R-MR	OX		U	R3	A3	SV	F4			Fraturas com superfícies oxidadas
					2	FO	P	R	OX		U	R3	A3	I	F4			Fragmentado de 4,80 a 5,40m
PESO RELATIVO ( RMR )				3						25	7	7		-7	8	43	III	
5,10	6,20	Gnaisse	100	18	13	J	P	R-MR	OX		U	R4	A2	SV,SH	F4			Fragmentado de 4,80 a 5,40m
					7	FO	P	R	OX		U	R4	A2	I	F4			
PESO RELATIVO ( RMR )				3						25	7	12		-7	8	48	III	
6,20	6,70	Gnaisse	100	30	5	J	P	R-MR	OX		U	R4	A2	SH,ISV	F5			Trecho fragmentado
					7	FO	P	R	BI		U	R4	A2	I	F5			
PESO RELATIVO ( RMR )				8						25	7	12		-7	5	50	III	
6,70	7,70	Gnaisse	95	50	5	J	P	R	OX		U	R4	A2	SV,SH	F4			Fragmentado de 7,00 a 7,60m
					8	FO	P	R	OX		U	R4	A2	I,SH	F4			
PESO RELATIVO ( RMR )				8						20	7	12		-7	8	48	III	
7,70	8,00	Gnaisse	95	50	2	J	P	R-MR	OX		U	R4	A2	SV,SH	F4			
					2	FO	P	R	OX		U	R4	A2	I,SH	F4			
PESO RELATIVO ( RMR )				8						25	7	12		-7	8	53	III	
8,00	8,50	Gnaisse	82	49	8	J	P	R-MR	OX		U	R4	A2	SV,I,SH	F5			
					12	FO	P	R	OX		U	R4	A2	I,SH	F5			
PESO RELATIVO ( RMR )				8						25	7	12		-7	5	50	III	

## Condições das Fraturas

## valor

Superfícies muito rugosas não contínuas fechadas paredes duras

30

Superfícies pouco rugosas abertura &lt; 1 mm paredes duras

25

Superfícies pouco rugosas abertura &lt; 1 mm paredes moles

20

Superfícies estriadas ou preenchimento &lt; 5 mm ou abertura 1 - 5 mm continuas

10

Preenchimento mole &gt; 5 mm ou abertura &gt; 5 mm continuas

0

## Orientação das Descontinuidades

H Horizontais (mergulho &lt; 5°)

SH Subhorizontais (5° &lt; mergulho &lt; 30°)

Inclinadas (30° &lt; mergulho &lt; 80°)

SV Subverticais (60° &lt; mergulho &lt; 95°)

V Verticais (mergulho &gt; 85°)

PROJETO ARNEIROZ II

PROJETO Nº 009-5601

DESCRITO CMS

DATA 29/05/00

## Tipo de Descamaruadade

Junta JL

Forra P

Rugosidade

P Polda

R Rugosa

P Arg

G Gouge

OX Óxido

Fratura Fr C

Curvada I

Dentada

K Sticksied

MR Muro

Rugosa

CA Calcita

TQ Testemunho Quebrado

FE Ferro

Cisalhamento CIS

Ondulado

Irregular

L Lisa

S Sulfor

Q Quartz

CL Corts

BT Biotta

FAG NA

1

DE

3

00000029

**PLANILHA DE CLASSIFICAÇÃO - BIENIAWSKI SISTEMA RMR**

**NOTA** Sempre medir superfícies da base do testemunho

Seção	A - A
Furo N°	SM-01 A
Inclinação	VERTICAL
Azimute	---
Elevação	343,89m

Data de Execução 08/03/2000  
Tipo de Sondagem MISTA  
Empresa MINAS SOLOS

Norte      9 307 105,4001  
Leste      365 056,0875  
Diâmetro do Testemunho



De	até	Tipo de Rocha	TCR (%)	RQD (%)	Número	Tipo	Forma	Rugosidade	Preenchimento	Cond	Nível D'água	Resistência	Alteração	Dir / Merg	Fraturamento	RMR	Classe Número	Observações
8,50	9,30	Gnaissse	100	56	3	J	P	R-MR			U	R5	A2	I,SV	F3			
					4	FO	P	R	OX		U	R5	A2	I,SH	F3			
PESO RELATIVO ( RMR )				13						25	7	15		-7	10	63	II	
9,30	10,40	Gnaissse	95	62	7	J	P,D	R-MR	QZ		U	R5	A2	I,SV	F4			
					12	FO	P	R	OX		U	R5	A2	I,SH	F4			
PESO RELATIVO ( RMR )				13						25	7	15		-7	8	61	II	
10,40	11,15	Gnaissse	94	80	2	J	P	R	OX		U	R5	A1	SV,SH	F3			
					5	FO	P	R	BI		U	R5	A1	I,SH	F3			
PESO RELATIVO ( RMR )				17						20	7	15		-7	10	62	II	
11,15	13,18	Gnaissse	98	79	7	J	P	R-MR	OX		U	R5	A1	SV	F3			
					10	FO	P	R	BI		U	R5	A1	I,SH	F3			
PESO RELATIVO ( RMR )				17						25	7	15		-7	10	67	II	
13,18	13,70	Gnaissse	92	68	·	J	P	R	OX		U	R5	A1	SV	F2			
					2	FO	P	R	BI		U	R5	A1	I,SH	F2			
PESO RELATIVO ( RMR )				13						20	7	15		-7	25	73	II	
13,70	14,50	Gnaissse	96	72	1	J	P	R	OX		U	R5	A1	SV	F2			
					2	FO	P	R	BI		U	R5	A1	I,SH	F2			
PESO RELATIVO ( RMR )				13						20	7	15		-7	25	73	II	
14,50	14,75	Gnaissse	90	35	1	J	P	R-MR	OX		U	R5	A1	I	F4			
					1	FO	P	R	BI		U	R5	A1	SH	F4			
PESO RELATIVO ( RMR )				8						25	7	15		-7	8	56	II	
14,75	15,47	Gnaissse	94	68	·	J	P	R-MR	OX		U	R5	A1	SV	F2			
					2	FO	P	R	BI		U	R5	A1	I,SH	F2			
PESO RELATIVO ( RMR )				13						25	7	15		-7	25	78	II	

**PROJETO ARNEIROZ II PROJETO Nº 009-5601**

**DESCRITO CMS**

DATA 29/05/00

PÁGINA 2 DE 3

630

## PLANILHA DE CLASSIFICAÇÃO - BIENIAWISKI SISTEMA RMR

Seção A - A  
 Furo N° SM-01 A  
 Inclinação VERTICAL  
 Azimute —  
 Elevação 343,89m

Data de Execução 08/03/2000  
 Tipo de Sondagem MISTA  
 Empresa MINAS SOLOS

Norte 9 307 105,4001  
 Leste 365 056,0875  
 Diâmetro do Testemunho NX



NOTA Sempre medir superfícies da base do testemunho

De	ate	Tipo de Rocha	TCR (%)	RQD (%)	Número	Tipo	Forma	Rugosidade	Preenchimento	Cond	Nível D' agua	Resistência	Alteração	Dir /Meg	Fraturamento	RMR	Classe Número	Observações
15.47	16,10	Gnaisse	100	94	1	J	P	R-MR	OX		U	R5	A1	I	F2			
					·	FO	P	R	BI		U	R5	A1	SH	F2			
PESO RELATIVO ( RMR )			20							25	7	15		-7	25	85	ii	
16.10	16,70	Gnaisse	95	70	·	J	P	R-MR	OX		U	R5	A1	SV	F2			
PESO RELATIVO ( RMR )			13							20	7	15		-7	25	73	ii	
16.70	17,02	Gnaisse	100	72	1	J	P	R-MR	OX		U	R5	A1	I	F2			
PESO RELATIVO ( RMR )			13							20	7	15		-7	25	73	ii	
17.02	18,00	Gnaisse	97	74	1	J	P	R-MR	OX		U	R5	A1	SV	F2			
PESO RELATIVO ( RMR )			13							20	7	15		-7	25	73	ii	
18.00	18,95	Gnaisse	98	74	1	J	P	R-MR	OX		U	R5	A1	I	F2			
					·	FO	P	R	BI		U	R5	A1	SH	F2			
PESO RELATIVO ( RMR )			13							20	7	15		-7	25	73	ii	
18.95	19.70	Gnaisse	99	76	·	J	P	R-MR	OX		U	R5	A1	I	F2			
PESO RELATIVO ( RMR )			17							20	7	15		-7	25	77	ii	
19.70	20,00	Gnaisse	98	60	1	J	P	R-MR	OX		U	R5	A1	SV	F2			
PESO RELATIVO ( RMR )			17							20	7	15		-7	25	77	ii	
20.00	LIMITE DA SONDAÇÃO																	
PROJETO ARNEIROZ II	PROJETO N° 009-5601	DESCRITO	CMS	DATA	29/05/00	PÁGINA	3	DE	3									

000031

**PLANILHA DE CLASSIFICAÇÃO - BIENIAWSKI SISTEMA RMR**

**NOTA** Sempre medir superfícies da base do testemunho

Seção	A - A
Eixo N°	<b>SM-02</b>
Inclinação	VERTICAL
Azimute	---
Elevação	343,45m

Data de Execução	04/03/2000
Tipo de Sondagem	MISTA
Empresa	MINAS SOLOS

Norte      9 307 026,8557  
Leste      365 100,0280  
Diâmetro do Testemunho



Condições das Fraturas	valor
Superfícies muito rugosas não contínuas fechadas paredes duras	30
Superfícies pouco rugosas abertura < 1 mm paredes duras	25
Superfícies pouco rugosas abertura < 1 mm paredes moles	20
Superfícies estriadas ou crevachadas < 5 mm ou abertura 1 - 5 mm contínuas	10
Preenchimento total > 5 mm ou abertura > 5 mm contínuas	0

Orientação das Descontinuidades	
H	Horizontais (mergulho < 5°)
SH	Subhorizontais ( $5^\circ < \text{mergulho} < 30^\circ$ )
	Inclinadas ( $30^\circ < \text{mergulho} < 60^\circ$ )
SV	Subverticais ( $60^\circ < \text{mergulho} < 90^\circ$ )
V	Verticais ( $\text{mergulho} > 90^\circ$ )

PROJETO ARNEIROZ II  
PROJETO N° 009-5601  
DESCRITO CMS  
DATA 29/05/00

<u>Tipo de Descortinadura</u>	<u>Forma</u>	<u>Rugosidade</u>	<u>Preenchimento</u>
Junta J	D Parar	R Ruggedosa	G Argila
Fatura Fr	C Curvado	K Stickend.	CA Calcita
Cisalhamento C-S	A Acanhamento A	M R. Muito Rugosa	TQ Testemunho Quebrado
Vento V	O Oclusado	L Lisa	FE Ferro
	Forçado FO	S Sulfato	CL Clorita
	FO	ZQ Quartzo	BT Biotita

PÁGINA 1 DE 1

## PLANILHA DE CLASSIFICAÇÃO - BIENIAWSKI SISTEMA RMR

Seção A - A  
 Furo Nº SM-03  
 Inclinação VERTICAL  
 Azimute ---  
 Elevação 355,38m

Data de Execução 26/03/2000  
 Tipo de Sondagem MISTA  
 Empresa MINAS SOLOS

Norte 9 307 262,4890  
 Leste 364 968,2064  
 Diâmetro do Testemunho NX



NOTA Sempre medir superfícies da base do testemunho

De	ate	Rocha	TCR (%)	RQD (%)	Numero	Tipo	Forma	Rugosidade	Preenchimento	Cond	Nível D'água	Resistência	Alteração	Dir /Merg	Fraturamento	RMR	Classific. Número	Observações
0,00	0,65	SOLO										R1	A5				V	
0,65	1,05	Gnaisse	30	0	12	FO	P-I	R-MR	OX		S	R2	A3	SH.I.SV	F5		Trecho Fragmentado	
					8	J	P-O	R-MR	OX		S	R2	A3	SH.I.SV	F5			
PESO RELATIVO ( RMR )				3						20	10	4		-7	5	35	IV	
1,05	1,50	Gnaisse	85	18	13	FO	P-C	R	OX		S	R4	A2	I.SV	F5		Xistosidade apresenta superfícies	
					5	J	P-O	R-MR	OX		S	R4	A2	I.SV	F5		suavemente oxidadas	
PESO RELATIVO ( RMR )				3						20	10	12		-7	5	43	III	
1,50	2,50	Gnaisse	88	44	14	FO	P-C	R	OX		S	R4	A2	I.SV	F5			
					10	J	P-I	R-MR	OX		S	R4	A2	I.SV	F5			
PESO RELATIVO ( RMR )				8						20	10	12		-7	5	48	II	
2,50	3,25	Gnaisse	88	31	50	FO	P-C	R	OX		S	R4	A2	I.SV	F5		Oxidação leve nas superfícies de	
					6	J	P-O	R	OX		S	R4	A2	I.SV	F5		xistosidade	
PESO RELATIVO ( RMR )				8						20	10	12		-7	5	48	II	
3,25	3,69	Gnaisse	90	30	10	FO	O-D	R-MR	OX		S	R5	A1	SV	F5		Forte oxidação nas superfícies de	
					1	J	P	R	OX		S	R5	A1	SV	F5		xistosidade	
PESO RELATIVO ( RMR )				8						25	10	15		-7	5	56	III	
3,69	4,50	Gnaisse	97	78	10	FO	O-D	R-MR	OX		S	R6	A1	I.SV	F5			
					8	J	P	R	OX		S	R6	A1	I.SV	F5			
PESO RELATIVO ( RMR )				17						25	10	15		-7	5	65	II	

## Condições das Fraturas

## valor

Superfícies muito rugosas não contínuas tecnicamente paredes duras

3C

Superfícies pouco rugosas abertura &lt; 1 mm paredes duras

25

Superfícies pouco rugosas abertura &lt; 1 mm paredes moles

20

Superfícies estruturadas ou preenchimento &lt; 5 mm ou abertura 1 - 5 mm continuas

1C

Preenchimento mole &gt; 5 mm ou abertura &gt; 5 mm continuas

0

## Orientação das Descontinuidades

H	Horizontais (mergulho < 5°)
SH	Subhorizontais (5° < mergulho < 30°)
I	Inclinadas (30° < mergulho < 60°)
SV	Subverticais (60° < mergulho < 85°)
V	Verticais (mergulho > 85°)

PROJETO ARNEIROZ II

PROJETO Nº 009-5601

DESCRITO CMS

DATA 29/05/00

## Tipo de Descontinuidade

## Forma

## Rugosidade

Junta J. Ju.

P Paralelo

R. Rugosa

Fratura F.

D Dentada

R. Rugged

Cisalhamento CIS

C Curvada

K Slickensided

Veo V.

O Ondulado

L Lisa

Fissura F.

I Irregular

Acamamento A

O Ondulado

Forração FC

P Polida

Erosão E.

R. Rugged

Deslizamento D.

K. K.

Desintegridade D.

L. Lisa

Deslizamento D.

R. Rugged

Desintegridade D.

K. K.

Desintegridade D.

L. Lisa

Desintegridade D.

R. Rugged

Desintegridade D.

K. K.

Desintegridade D.

L. Lisa

Desintegridade D.

R. Rugged

Desintegridade D.

K. K.

Desintegridade D.

L. Lisa

Desintegridade D.

R. Rugged

Desintegridade D.

K. K.

Desintegridade D.

L. Lisa

Desintegridade D.

R. Rugged

Desintegridade D.

K. K.

Desintegridade D.

L. Lisa

Desintegridade D.

R. Rugged

Desintegridade D.

K. K.

Desintegridade D.

L. Lisa

Desintegridade D.

R. Rugged

Desintegridade D.

K. K.

Desintegridade D.

L. Lisa

Desintegridade D.

R. Rugged

Desintegridade D.

K. K.

Desintegridade D.

L. Lisa

Desintegridade D.

R. Rugged

Desintegridade D.

K. K.

Desintegridade D.

L. Lisa

Desintegridade D.

R. Rugged

Desintegridade D.

K. K.

Desintegridade D.

L. Lisa

Desintegridade D.

R. Rugged

Desintegridade D.

K. K.

Desintegridade D.

L. Lisa

Desintegridade D.

R. Rugged

Desintegridade D.

K. K.

Desintegridade D.

L. Lisa

Desintegridade D.

R. Rugged

Desintegridade D.

K. K.

Desintegridade D.

L. Lisa

Desintegridade D.

R. Rugged

Desintegridade D.

K. K.

Desintegridade D.

L. Lisa

Desintegridade D.

R. Rugged

Desintegridade D.

K. K.

Desintegridade D.

L. Lisa

Desintegridade D.

R. Rugged

Desintegridade D.

K. K.

Desintegridade D.

L. Lisa

Desintegridade D.

R. Rugged

Desintegridade D.

K. K.

Desintegridade D.

L. Lisa

Desintegridade D.

R. Rugged

Desintegridade D.

K. K.

Desintegridade D.

L. Lisa

Desintegridade D.

R. Rugged

Desintegridade D.

K. K.

Desintegridade D.

L. Lisa

Desintegridade D.

R. Rugged

Desintegridade D.

K. K.

Desintegridade D.

L. Lisa

Desintegridade D.

R. Rugged

Desintegridade D.

K. K.

Desintegridade D.

L. Lisa

Desintegridade D.

R. Rugged

Desintegridade D.

K. K.

Desintegridade D.

L. Lisa

Desintegridade D.

R. Rugged

Desintegridade D.

K. K.

Desintegridade D.

L. Lisa

Desintegridade D.

R. Rugged

Desintegridade D.

K. K.

Desintegridade D.

L. Lisa

Desintegridade D.

R. Rugged

Desintegridade D.

K. K.

Desintegridade D.

L. Lisa

Desintegridade D.

R. Rugged

Desintegridade D.

K. K.

Desintegridade D.

L. Lisa

Desintegridade D.

R. Rugged

Desintegridade D.

K. K.

Desintegridade D.

L. Lisa

Desintegridade D.

R. Rugged

Desintegridade D.

K. K.

Desintegridade D.

L. Lisa

Desintegridade D.

R. Rugged

Desintegridade D.

K. K.

Desintegridade D.

L. Lisa

Desintegridade D.

R. Rugged

## PLANILHA DE CLASSIFICAÇÃO - BIENIAWISKI SISTEMA RMR

Seção A - A  
Furo Nº SM-03  
Inclinação VERTICAL  
Azimute ---  
Elevação 355,38m

Data de Execução 26/03/2000  
Tipo de Sondagem MISTA  
Empresa MINAS SOLOS

Norte 9 307 262,4890  
Leste 364 968,2064  
Diâmetro do Testemunho NX



NOTA Sempre medir superfícies da base do testemunho

De	ate	Tipo de Rocha	TCR (%)	RQD (%)	Número	Tipo	Forma	Rugosidade	Preenchimento	Cond	Nível D' agua	Resistência	Alteração	Dir /Merg	Fraturamento	RMR	Classe Númrcro	Observações
4,50	5,50	Gnaisse	98	80	6	FO	O-I	MR	OX		S	R5	A1	SV	F4			
					5	J	D-I	R-MR			S	R5	A1	SV	F4			
PESO RELATIVO ( RMR )			17							30	10	15		-7	8	73	II	
5,50	6,75	Gnaisse	98	72	4	FO	O-I	R-MR	OX		S	R5	A1	SV	F3			
					3	J	D-I	R-MR	OX		S	R5	A1	SV	F3			
PESO RELATIVO ( RMR )			13							30	10	15		-7	10	71	II	
6,75	7,50	Gnaisse	90	68	5	FO	P-C	R	OX		S	R5	A1	I,SV	F4			
					7	J	P	R	OX		S	R5	A1	I,SV	F4			
PESO RELATIVO ( RMR )			13							25	10	15		-7	8	64	II	
7,50	8,75	Gnaisse	100	80	8	FO	P-O	R	OX		U	R5	A1	SH,I,SV	F3			
					2	J	I	R-MR	OX		U	R5	A1	SH,I,SV	F3			
PESO RELATIVO ( RMR )			17							30	7	15		-7	10	72	II	
8,75	9,85	Gnaisse	97	74	8	FO	P-O	R-MR			U	R5	A1	I,SV	F4		Diminuição dos níveis de oxidação	
					6	J	P	R			U	R5	A1	I,SV	F4		das superfícies de xistosidade	
PESO RELATIVO ( RMR )			13							30	7	15		-7	8	66	II	
9,85	10,50	Gnaisse	96	65	9	FO	P-O	R-MR			U	R5	A1	I,SV	F4			
					4	J	P	R			U	R5	A1	I,SV	F4			
PESO RELATIVO ( RMR )			13							30	7	15		-7	8	66	II	
10,50	LIMITE DA SONDEAGEM																	

PLANILHA DE CLASSIFICAÇÃO - BIENIAWISKI SISTEMA RMR

Seção	A - A, D - D
Furo N°	<b>SM-04</b>
Inclinação	VERTICAL
Azimute	---
Elevação	354.98m

Data de Execução	06/03/2000	Norte	9 306 904,6754
Tipo de Sondagem	MISTA	Leste	365 168,3799
Impressa	MINAS SOLOS	Diâmetro do Testemunho	NX



Condições das Fraturas	valor
Superfícies rústicas rígidas e fechadas paredes duras	30
Superfícies pouco rugosas abertura < 1 mm paredes duras	25
Superfícies pouco rugosas abertura < 1 mm paredes moles	22
Superfícies esfriadas ou preenchimento < 5 mm ou abertura 1-5 mm continuas	10
Preenchimento mole > 5 mm ou abertura > 5 mm contínuas	0

Orientação das Descontinuidades	
H	Horizontais (mergulho < 5°)
SH	Suturas zontais (5° < mergulho < 30°)
	Inclinadas (30° < mergulho < 50°)
SV	Suturas verticais (60° < mergulho < 55°)
V	Verticais (mergulho > 85°)

PROJETO ARNEIROZ II  
PROJETO N° 009-5601  
DESCRITO CMS  
DATA 29/05/00

<u>Tipo de Descorrência</u>	<u>Forma</u>	<u>Rugosidade</u>	<u>Preenchimento</u>
Junta JU	P Planar	D Centraca	F Polca
Fratura Fr	F Falha F.	C Curvado	R Rugosa
Caisamento CIS	A Acanhamento A	I Irregular	K S exersdec
Veto v	F Foliação FO FOL	O Onculado	M R Muto R-gosa
		L Lsa	
			G Argila
			G Gouge
			OX Oxido
			CA Calcra
			TQ Tesourinho Quebrado
			FE Ferro
			S Sulfeto
			CL Clorita
			CZ Quartzo
			BT Bora

PÁGINA 1 DE 1

卷之三

**PLANILHA DE CLASSIFICAÇÃO - BIENIAWISKI SISTEMA RMR**

**NOTA** Sempre medir superfícies da base do testemunho

Seção	A - A
Eixo N°	<b>SM-05</b>
Inclinação	VERTICAL
Azimute	---
Elevação	363,81m

Data de Execução 12/03/2000  
Tipo de Sondagem MISTA  
Empresa MINAS SOLOS

Norte      9 307 437,2377  
 Leste      364 871,3870  
 Diâmetro do Testemunho



**Golder  
Associates**

De	ate	Tipo de Rocha	TCR (%)	RQD (%)	Número	Tipo	Forma	Rugosidade	Preenchimento	Cond	Nível d'água	Resistência	Alteração	Dir /Merg	Fraturamento	RMR	Classe Número	Observações
0,00	1,15	SOLO										R1	A5				V	
1,15	1,50	Gnaisse	84	0	8	FO	P-C	R	OX		S	R3	A3	SV,SH	F5			Oxidação leve das superfícies
					3	J	P	R	OX		S	R3	A3	SV,SH	F5			
PESO RELATIVO ( RMR )				3						20	10	7		-7	5	38	IV	
1,50	2,16	Gnaisse	69	0	5	J	P	R	OX		S	R3	A3	SV,ISH	F5			Trecho fragmentado
					10	FO	P	R	OX		S	R3	A3	SV,ISH	F5			
PESO RELATIVO ( RMR )				3						20	10	7		-7	5	38	IV	
2,16	3,20	Gnaisse	94	0	20	FO	P-C	R			S	R4	A2	ISH	F5			
					12	J	P	R			S	R4	A2	ISH	F5			
PESO RELATIVO ( RMR )				3						20	10	12		-7	5	43	III	
3,20	4,50	Gnaisse	98	75	11	FO	P	R			S	R5	A1	SV,I	F4			
					5	J	P	R-MR			S	R5	A1	SV,I	F4			
PESO RELATIVO ( RMR )				17						20	10	15		-7	8	63	II	
4,50	6,00	Gnaisse	98	89	13	FO	P	R			S	R5	A1	ISH	F4			
					8	J	P	R			S	R5	A1	ISH	F4			
PESO RELATIVO ( RMR )				17						20	10	15		-7	8	63	II	
6,00	6,57	Gnaisse	96	26	12	FO	P	R			S	R5	A1	SV,I	F5			
					4	J	P	R			S	R5	A1	SV,I	F5			
PESO RELATIVO ( RMR )				8						20	10	15		-7	5	51	III	

Condições das Fraturas	valor
Superfícies muro-ugosas não contínuas fechadas paredes duras	30
Superfícies pouco-ugosas abertura < 1 mm paredes duras	25
Superfícies muito-ugosas abertura < 1 mm paredes moles	20
Superfícies estriadas ou preenchimento < 5 mm ou abertura > 5 mm contínuas	10
Preenchimento mole > 5 mm ou abertura > 5 mm contínuas	5

Orientação das Descontinuidades	
↔	Horizontais (mergulho < 5°)
S↔	Subhorizontais (5° < mergulho < 30°)
	Inclinadas (30° < mergulho < 60°)
SV	Sobretícnicas (60° < mergulho < 85°)
↙	Verticais (mergulho > 85°)

PROJETO ARNEIROZ II  
PROJETO N° 009-5601  
DESCRITO CMS  
DATA 29/05/00

<u>Tipo de Descontinuidade</u>	<u>Forma</u>	<u>Rugosidade</u>	<u>Preenchimento</u>					
Junta J-J	<input checked="" type="checkbox"/> Planar	<input type="checkbox"/> Dentada	<input type="checkbox"/> Polida	<input type="checkbox"/> Rugosa	<input type="checkbox"/> Argila	<input type="checkbox"/> Gouge	<input type="checkbox"/> OX Oxido	
Fratura Fr	<input type="checkbox"/> Falta F.	<input type="checkbox"/> Curvado	<input type="checkbox"/> Irregular	<input type="checkbox"/> Sticks-dec	<input type="checkbox"/> Muito Rugosa	<input type="checkbox"/> CA Cacita	<input type="checkbox"/> TQ Testemunho Quebrado	<input type="checkbox"/> FE Ferro
Cisalhamento CIS	<input type="checkbox"/> Acamamento A	<input type="checkbox"/> Ondulado	<input type="checkbox"/> Lisa	<input type="checkbox"/> Sulfato	<input type="checkbox"/> CL Corta	<input type="checkbox"/> CZ Quartzo	<input type="checkbox"/> BT Becta	
Veio V	<input type="checkbox"/> Foliação FC FCL							

PÁGINA 1 DE 2

30036

## PLANILHA DE CLASSIFICAÇÃO - BIENIAWISKI SISTEMA RMR

**NOTA** Sempre medir superfícies da base do testemunho

Seção	A - A
Furo N°	SM-05
Inclinação	VERTICAL
Azimute	---
Elevação	363.81m

Data de Execução	<u>12/03/2000</u>	Norte	<u>9 307 437,2377</u>
Tipo de Sondagem	<u>MISTA</u>	Leste	<u>364 871,3870</u>
Empresa	<u>MINAS SOLOS</u>	Diâmetro do Testemunho	<u>NX</u>



De	ate	Tipo de Rocha	TCR (%)	RQD (%)	Número	Tipo	Forma	Rugosidade	Preenchimento	Cond	Nível D'água	Resistência	Alteração	Dir /Merg	Fraturamento	RMR	Classic Numero	Observações
----	-----	---------------	---------	---------	--------	------	-------	------------	---------------	------	--------------	-------------	-----------	-----------	--------------	-----	----------------	-------------

**PLANILHA DE CLASSIFICAÇÃO - BIENIAWISKI SISTEMA RMR**

**NOTA** Sempre medir superfícies da base do testemunho

Seção	D - D
Furo N°	<b>SM-06</b>
Inclinação	VERTICAL
Azimute	---
Elevação	352,48m

Data de Execução 09/03/2000  
Tipo de Sondagem MISTA  
Empresa MINAS SOLOS

Norte	<u>9 306 880,2640</u>
Leste	<u>365 124,7441</u>
Diâmetro do Testemunho	



Condições das Freturas	valor
Superfícies muito rugosas não contínuas fechadas paredes duras	30
Superfícies pouco rugosas abertura < 1 mm paredes duras	25
Superfícies pouco rugosas abertura < 1 mm paredes moles	20
Superfícies esfarrapadas ou preenchimento < 5 mm ou abertura 1 - 5 mm contínuas	10
Preenchimento mole > 5 mm ou abertura > 5 mm contínuas	0

Orientação das Descontinuidades	
•	Horizontais (mergulho < 5°)
SI-	Subhorizontais (5° < mergulho < 30°)
•	Inclinadas (30° < mergulho < 80°)
SV	Subverticais (80° < mergulho < 85°)
•	Verticais (mergulho > 85°)

PROJETO ARNEIROZ II  
PROJETO N° 009-5601  
DESCRITO CMS  
DATA 29/05/00

<u>Tipo de Descont</u>	<u>Forma</u>	<u>Rugosidade</u>	<u>Preenchimento</u>
Junta J ..	P Planar D Dentada	P Polida R Rugosa	Arg Argila G Gouge OX Oxido
Fratura Fr	F Falha F ..	X Sticksersices	CA Calcrea TQ Testemunha Quebrado FE Ferro
Cisalhamento CIS	A Acamamento A ..	L Lisa	S Sulfato CL Calcita
Veda V ..	Foflação FC FO ..		GZ Quatzo BT Biotita

PÁGINA 1 DE 1

000038

PLANILHA DE CLASSIFICAÇÃO - BIENIAWSKI SISTEMA RMR

**NOTA** Sempre medir superfícies da base do testemunho

Seção	D - D
Furo N°	<b>SM-07</b>
Inclinação	VERTICAL
Azimute	---
Elevação	353,18m

Data de Execução 04/03/2000  
Tipo de Sondagem MISTA  
Empresa MINAS SOLOS

Norte      9 306 924,2045  
 Leste      365 203,2885  
 Diâmetro do Testemunho



**Golder**  
Associates

Condições das Fraturas	valor
Superfícies muito rugosas não contínuas fechadas paredes duras	30
Superfícies pouco rugosas abertura < 1 mm paredes duras	25
Superfícies pouco rugosas abertura < 1 mm paredes moles	20
Superfícies estradas ou preechimento < 5 mm ou abertura 1 - 5 mm contínuas	10
Preechimento mole > 5 mm ou abertura > 5 mm contínuas	0

Orientação das Descontinuidades	
H	Horizontais (mergulho < 5°)
SH	Suaves (5° < mergulho < 30°)
	Inclinadas (30° < mergulho < 85°)
SV	Subverticais (80° < mergulho < 85°)
V	Verticais (mergulho > 85°)

PROJETO ARNEIROZ II  
PROJETO N° 009-5601  
DESCRITO CMS  
DATA 29/05/00

<u>Tipo de Descoloração</u>	<u>Forma</u>	<u>Rugosidade</u>	<u>Preenchimento</u>
Junta J-J	P Plana	D Dentada	A Argila
Fratura F-	C Curvada	I Irregular	G Gouge
Cisalhamento CIS	A Acamamento A	K Stickensed	CA Cacta
Veio V	O Ondulado	L Lisa	MR Muro Rugosa
			TQ Testemunho Quebrado
			S Sulfeto
			C Clorita
			QZ Quartzo
			BT Borda

PÁGINA 1 DE 1

333

## PLANILHA DE CLASSIFICAÇÃO - BIENIAWISKI SISTEMA RMR

Seção A - A  
Furo Nº SM-08  
Inclinação VERTICAL  
Azimute ---  
Elevação 363,57m

Data de Execução 16/03/2000  
Tipo de Sondagem MISTA  
Empresa MINAS SOLOS

Norte 9 306 843,5853  
Leste 365 202,5558  
Diâmetro do Testemunho NX



De	ate	Tipo de Rocha	TCR (%)	RQD (%)	Número	Tipo	Forma	Rugosidade	Preenchimento	Cond	Nível d'água	Resistência	Alteração	Dir /Merg	Faturamento	RMR	Classe Númro	Observações
0,00	0,75	SOLO									R1	A5					V	
0,75	2,00	Gnaisse	40	0	18	FO	P	R-MR	BI		S	R2	A4	SH,I,SV	F5			Trecho fragmentado
					9	J	P	R-MR	OX		S	R2	A4	SH,I,SV	F5			
PESO RELATIVO ( RMR )				3						20	10	4		-7	5	35	IV	
2,00	5,00	Gnaisse	92	75	15	FO	P	R	OX,BI		S	R5	A1	I,SH	F3			
					13	J	P-I	R	OX		S	R5	A1	I,SH,SV	F3			
PESO RELATIVO ( RMR )				17						20	10	15		-7	10	65	II	
5,00	5,90	Gnaisse	100	66	5	FO	P-C	R	BI,OX		S	R5	A1	SV,I,SH	F3			
					4	J	P	R-MR	OX		S	R5	A1	SV,I,SH	F3			
PESO RELATIVO ( RMR )				13						25	10	15		-7	10	66	II	
5,90	6,60	Gnaisse	100	69	4	FO	P	R	BI,OX		S	R5	A1	SH,I	F3			
					3	J	P	R-MR	OX		S	R5	A1	SV,I	F3			
PESO RELATIVO ( RMR )				13						25	10	15		-7	10	66	II	
6,60	7,45	Gnaisse	100	67	3	FO	P-C	R	BI		S	R5	A1	I,SV	F3			
					8	J	P	R-MR	OX		S	R5	A1	I,SV	F3			
PESO RELATIVO ( RMR )				13						25	10	15		-7	10	66	II	
7,45	11,00	Gnaisse	100	70	15	FO	P	R-MR	BI		S	R5	A1	SH,I	F3			
					15	J	P-O	R-MR	OX		S	R6	A1	I,SV,SH	F3			
PESO RELATIVO ( RMR )				13						25	10	15		-7	10	66	II	
11,00 LIMITE DA SONDAÇÃO																		

## Condições das Fraturas

Superfícies muito rugosas não continuas fechadas paredes duras

valor

30

Superfícies pouco rugosas abertura &lt; 1 mm paredes duras

25

Superfícies pouco rugosas abertura &lt; 1 mm paredes moles

20

Superfícies estriadas ou preenchimento &lt; 5 mm ou abertura 1-5 mm continuas

10

Preenchimento maiores &gt; 5 mm ou abertura &gt; 5 mm continuas

0

## Orientação das Descontinuidades

H Horizontais (mergulho &lt; 5°)

S-L Subhorizontais (5° &lt; mergulho &lt; 30°)

I Inclinadas (30° &lt; mergulho &lt; 60°)

SV Suavemente (60° &lt; mergulho &lt; 85°)

V Verticais (mergulho &gt; 85°)

PROJETO ARNEIROZ II

PROJETO Nº 009-5601

DESCRITO CMS

DATA 29/05/00

## Tipo de Descontinuidade

Junta J JU

Forma

P Plana

C Curvada

O Ondulado

D Descaia

Irregular

Rugosidade

P Ponda

K Slickenside

L Lisa

R Rugosa

MR Muito R-gosa

Preenchimento

Arg Argila

CA Calcita

S Sulfato

G Gouge

TQ Testemunho Quebrado

QZ Quartz

OX Oxido

FE Ferro

CL Clorita

BT Botta

PAGINA 1

DE 1

000040

**PLANILHA DE CLASSIFICAÇÃO - BIENIAWSKI SISTEMA RMR**

**NOTA** Sempre medir superfícies da base do testemunho

Seção	A - A
Furo N°	SM-09
Inclinação	VERTICAL
Azimute	---
Elevação	371.00m

Data de Execução	<u>17/03/2000</u>	Norte	<u>9 306 734,9571</u>
Tipo de Sondagem	<u>MISTA</u>	Leste	<u>365 210,9878</u>
Empresa	<u>MINAS SOLOS</u>	Diâmetro do Testemunho	<u>NX</u>



Condições das Fraturas	valor
Superfícies irregulares não contínuas fechadas paredes duras	30
Superfícies pouco rugosas abertura < 1 mm paredes duras	25
Superfícies pouco rugosas abertura < 1 mm paredes moles	20
Superfícies estridadas ou preenchimento < 5 mm ou abertura 1 - 5 mm contínuas	10
Preenchimento mole > 5 mm ou abertura > 5 mm contínuas	0

Orientação das Descontinuidades	
H	Horizontais ( $\text{mergulho} < 5^\circ$ )
SH	Subhorizontais ( $5^\circ < \text{mergulho} < 30^\circ$ ); Inclinadas ( $30^\circ < \text{mergulho} < 80^\circ$ )
SV	Subverticais ( $60^\circ < \text{mergulho} < 85^\circ$ )
V	Verticais ( $\text{mergulho} > 85^\circ$ )

PROJETO ARNEIROZ II  
PROJETO N° 009-5601  
DESCRITO CMS  
DATA 29/05/00

<u>Tipo de Descontinuidade</u>	<u>Forma</u>	<u>Rugosidade</u>	<u>Preenchimento</u>
Jurta JJ	P Planar D Dentada	P Polca R Rugosa	A'g Argila G Gcuge OX Óxico
Fratura Fr	F Falsa FL	C Convexo I Irregular	K Stickensicid MR Muito Rugosa
Cisalhamento CIS	Acaramento A	O Ondulado	L Lsa
Velho V	Foliação FOL		S Sulfato CL Clorita
			QZ Quartzo BT Bicita

PÁGINA 1 DE 1

四

## PLANILHA DE CLASSIFICAÇÃO - BIENIAWISKI SISTEMA RMR

Seção A - A, B - B  
Furo Nº SM-10  
Inclinação VERTICAL  
Azimute ----  
Elevação 368,60m

Data de Execução 10/03/2000  
Tipo de Sondagem MISTA  
Empresa MINAS SOLOS

Norte 9 306 457,7756  
Leste 365 157,3504  
Diâmetro do Testemunho NX



De	ate	Tipo de Rocha	TCR (%)	RQD (%)	Número	Tipo	Forma	Rugosidade	Preenchimento	Cond	Nível D' agua	Resistência	Alteração	Dir /Merg	Fratramento	RMR	Classc Número	Observações
0,00	0,60	SOLO										R1	A5				V	
0,60	1 16	Gnaisse	92	20	13	FO	P-O	R	OX		S	R3	A3	SH,I	F5			Leve oxidação das superfícies
					3	J	P	R	OX		S	R3	A3	I	F5			
PESO RELATIVO ( RMR )				3						20	10	7		-7	5	38	IV	
1,16	2,11	Gnaisse	43	0	14	FO	P	R	OX		S	R3	A3	SH,I	F5			Trecho fragmentado
					6	J	P	R	OX		S	R3	A3	SH,I	F5			
PESO RELATIVO ( RMR )				3						20	10	7		-7	5	38	IV	
2,11	2,61	Gnaisse	92	0	16	FO	P	R	BI		S	R3	A3	SH,I	F5			
					3	J	P	R	OX		S	R3	A3	I	F5			
PESO RELATIVO ( RMR )				3						20	10	7		-7	5	38	IV	
2,61	3,32	Gnaisse	100	60	5	FO	O-I	R-MR	BI		S	R4	A2	SH,I	F5			
					11	J	P-I	R-MR	OX		S	R4	A2	I,SH	F5			
PESO RELATIVO ( RMR )				3						20	10	12		-7	5	58	III	
3,32	3,82	Gnaisse	100	38	6	FO	C-O	R-MR	BI		S	R5	A1	SH,I	F4			
					4	J	O	R	OX		S	R5	A1	SH,I	F4			
PESO RELATIVO ( RMR )				8						25	10	15		-7	8	59	III	
3,82	4,66	Gnaisse	90	40	16	FO	P-O	R-MR	BI		S	R5	A1	SH,I	F5			
					3	J	P	R	OX		S	R5	A1	SH,I	F5			
PESO RELATIVO ( RMR )				8						20	10	15		-7	5	51	III	

## Condições das Fraturas

valor

Superfícies muito rugosas não contínuas fechadas paredes duras

Superfícies pouco rugosas abertura &lt; 1 mm paredes curvas

Superfícies pouco rugosas abertura &lt; 1 mm paredes rígidas

Superfícies estriadas ou preenchimento &lt; 5 mm ou abertura 1-5 mm contínuas

Preenchimento maior &gt; 5 mm ou abertura &gt; 5 mm contínuas

## Orientação das Descontinuidades

H Horizontais (mergulho &lt; 5°)

SH Subhorizontais (5° &lt; mergulho &lt; 30°)

Inclinadas (30° &lt; mergulho &lt; 60°)

SV Subverticais (60° &lt; mergulho &lt; 85°)

V Verticais (mergulho &gt; 85°)

PROJETO ARNEIROZ II

PROJETO N° 009-5601

DESCRITO CMS

DATA 29/05/00

## Tipo de Descontinuidade

Forma

Rugosidade

Preenchimento

Junta J, L

P Planar

D Dentada

Arg Argila

G Gouge

OX Óxido

Fratura Fr

C Curvado

I Irregular

R Rugosa

MR Mto R.

Sulfato

QZ Quartzo

L Lisa

K Stickschied

CA Calcita

CL Clorita

BT Bicita

Rugosa

Mu R.

Rugosa

## PLANILHA DE CLASSIFICAÇÃO - BIENIAWSKI SISTEMA RMR

Seção A - A, B - B  
 Furo Nº SM-10  
 Inclinação VERTICAL  
 Azimute ---  
 Elevação 368,60m

Data de Execução 10/03/2000  
 Tipo de Sondagem MISTA  
 Empresa MINAS SOLOS

Norte 9 306 457,7756  
 Leste 365 157,3504  
 Diâmetro do Testemunho NX



De	ate	Rocha	TCR (%)	RQD (%)	Número	Tipo	Forma	Rugosidade	Preenchimento	Cond	Nível D' agua	Resistência	Alteração	Dir /Merg	Fraturamento	RMR	Classe Numcros	Observações
4,66	5,16	Gnaisse	70	0	7	FO	P	R	OX,BI		S	R5	A1	SH,I,SV	F5			Trecho fragmentado
					5	J	P	R	OX		S	R5	A1	SH,I,SV	F5			
<b>PESO RELATIVO ( RMR )</b>			3							20	10	15		-7	5	46	III	
5,16	5,56	Gnaisse	87	25	10	FO	P-O	R-MR	BI		S	R5	A1	SH,I	F5			
					1	J	P	R	OX		S	R5	A1	I	F5			
<b>PESO RELATIVO ( RMR )</b>			8							20	10	15		-7	5	51	III	
5,56	5,94	Gnaisse	76	0	6	FO	P	R	OX,BI		S	R5	A1	SH,I,SV	F5			Trecho fragmentado
					5	J	P	R	OX,BI		S	R5	A1	SH,I,SV	F5			
<b>PESO RELATIVO ( RMR )</b>			3							20	10	15		-7	5	46	III	
5,94	8,70	Gnaisse	92	40	22	FO	P-O	R			S	R5	A1	SH,I	F4			
					10	J	P	R			S	R5	A1	I,SV	F4			
<b>PESO RELATIVO ( RMR )</b>			8							25	10	15		-7	8	59	III	
<b>8,70   LIMITE DA SONDAgem</b>																		

## PLANILHA DE CLASSIFICAÇÃO - BIENIAWSKI SISTEMA RMR

Seção B - B  
 Furo N° SM-11  
 Inclinação VERTICAL  
 Azimute ---  
 Elevação 366,08m

Data de Execução 12/03/2000  
 Tipo de Sondagem MISTA  
 Empresa MINAS SOLOS

Norte 9 306 477,5818  
 Leste 365 192,1026  
 Diâmetro do Testemunho NX



De	ate	Tipo de Rocha	TCR (%)	RQD (%)	Número	Tipo	Forma	Rugosidade	Preenchimento	Cond.	Nível D'água	Resistência	Alteração	Dir /Merg	Faturamento	RMR	Classe Número	Observações
0,00	0,86	SOLO SAPROLITICO + SAPROLITO									R1	A5					V	
0,86	1,51	Gnaisse	78	0	17	FO	P-O	R	BI		S	R3	A3	SH,I	F5			Superfícies levemente oxidadas
					7	J	P	R	OX		S	R3	A3	I,SV	F5			
PESO RELATIVO ( RMR )			3							20	10	7		-7	5	38	IV	
1,51	2,12	Gnaisse	98	24	10	FO	P-O	R	BI		S	R4	A2	SH	F5			
					4	J	P	R	OX		S	R4	A2	I	F5			
PESO RELATIVO ( RMR )			3							20	10	12		-7	5	43	III	
2,12	3,12	Gnaisse	100	65	12	FO	P	R	BI		S	R4	A2-1	SH	F4			
					4	J	P	L	OX		S	R4	A2-1	I	F4			
					2	CIS	P	R	BI		S	R4	A2-1	I	F4			
PESO RELATIVO ( RMR )			13							20	10	12		-7	8	56	III	
3,12	4,62	Gnaisse	94	30	31	FO	P	R	BI		S	R4	A2	SH,I	F5			
					8	J	P	L-R	OX		S	R4	A2	SH,I	F5			
PESO RELATIVO ( RMR )			8							20	10	12		-7	5	48	II	
4,62	5,22	Gnaisse	98	0	10	FO	P	L-R	OX		S	R4	A2	SV,SH,I	F5			Trecho fragmentado
					5	J	P	L-R	OX		S	R4	A2	SV,SH,I	F5			
PESO RELATIVO ( RMR )			3							20	10	12		-7	5	43	III	
5,22	LIMITE DA SONDAgem																	

## Condições das Fraturas

valor

Superfícies muro rugosas não contínuas fechadas paredes duras

30

Superfícies pouco rugosas abertura &lt; 1 mm cárdeos duras

25

Superfícies pouco rugosas abertura &lt; 1 mm cárdeos moles

20

Superfícies estriadas ou preenchimento &lt; 5 mm ou abertura 1 - 5 mm contínuas

10

Preenchimento mole &gt; 5 mm ou abertura &gt; 5 mm contínuas

0

## Orientação das Descontinuidades

H Horizontais (mergulho &lt; 5°)

S- Subhorizontais (5° &lt; mergulho &lt; 30°)

Inclinadas (30° &lt; mergulho &lt; 60°)

S-Subverticais (60° &lt; mergulho &lt; 85°)

V Verticais (mergulho &gt; 85°)

PROJETO ARNEIROZ II

PROJETO N° 009-5601

DESCRITO CMS

DATA 29/05/00

## Tipo de Descontinuidade

Forma

Rugosidade

Preenchimento

Junta J JJ

P Plana

D Dentada

Arg Argila

G Gouge

OX Oxido

Fratura Fr

C Curvada

I Irregular

CA Calcita

TQ Teste Tumbu Quebrado

FE Ferro

Cisalhamento CS

Acamamento A

O Ondulado

S Sulfor

C Clorita

B Biotita

QZ Quartzo

B Biotita

PÁGINA 1 DE 1

## PLANILHA DE CLASSIFICAÇÃO - BIENIAWSKI SISTEMA RMR

Seção B - B  
Furo N° SM-12  
Inclinação VERTICAL  
Azimute ---  
Elevação 361,68m

Data de Execução 15/03/2000  
Tipo de Sondagem MISTA  
Empresa MINAS SOLOS

Norte 9 306 507,2911  
Leste 365 244,2308  
Diâmetro do Testemunho NX



De	ate	Tipo de Rocha	TCR (%)	RQD (%)	Número	Tipo	Forma	Rugosidade	Preenchimento	Cond	Nível D'água	Resistência	Alteração	Dir /Merg	Fraturamento	RMR	Classific. Número	Observações
0,00	0,40	SOLO RESIDUAL										R1	A5				V	
0,40	1,00	Gnaisse	70	0	12	FO	P	R	BI		S	R3	A3	SH,I,SV	F5			Trecho fragmentado
					6	J	P	R-K	OX		S	R3	A3	SH,I,SV	F5			
PESO RELATIVO ( RMR )				3						10	10	7			5	35	IV	
1,00	2,02	Gnaisse	80	41	5	FO	P-O	R	BI		S	R4	A2	SH,I	F4			
					6	J	P	R-K	OX		S	R4	A2	SV,I	F4			Oxidação parcial das superfícies
PESO RELATIVO ( RMR )				8						10	10	12		-15	5	30	IV	
2,02	2,32	Gnaisse	100	57	5	FO	C	R	BI		S	R4	A2	SH,I	F5			
					3	J	P	R-K	OX		S	R4	A2	I	F5			
PESO RELATIVO ( RMR )				13						10	10	12		-15	5	35	IV	
2,32	3,43	Gnaisse	100	58	5	FO	C	R	BI		S	R5	A1	I,SH	F3			
					6	J	P	R-K	OX		S	R5	A1	SV,I	F3			
PESO RELATIVO ( RMR )				13						10	10	15		-15	10	43	III	
3,43	3,92	Gnaisse	100	92	4	FO	P	R	BI		S	R5	A1	SH	F4			
					2	J	P	R-K	OX		S	R5	A1	I,SV	F4			
PESO RELATIVO ( RMR )				20						10	10	15		-7	8	56	III	
3,92	4,58	Gnaisse	100	50	7	FO	C-P	R	BI		S	R5	A1	SH,I	F4			
					5	J	P	R-K	OX		S	R5	A1	SV,I	F4			
PESO RELATIVO ( RMR )				13						20	10	15		-15	8	51	III	

Condições das Fraturas	valor
Superfícies muito rugosas não contínuas fechadas paredes duras	30
Superfícies pouco rugosas abertura < 1 mm paredes duras	25
Superfícies pouco rugosas abertura < 1 mm paredes moles	20
Superfícies estradas ou preenchimento < 1 mm ou abertura 1 - 5 mm contínuas	10
Preenchimento mole > 5 mm ou abertura > 5 mm contínuas	5

Orientação das Descontinuidades	
H	Horizontais (mergulho < 5º)
SH	Sucessivas (5º < mergulho < 30º)
I	Inclinadas (30º < mergulho < 60º)
SV	Subverticais (60º < mergulho < 85º)
V	Verticais (mergulho > 85º)

Tipo de Descontinuidade	Forma	Rugosidade	Preenchimento
Junta J JJ	P Plana	D Dentada	Rugosa Arg Argila G Gouge OX Óxido
Fratura F Falha FL	C Curvado I Irregular	K Stick-slicid MR Mito Rugosa CA Calcita TQ Testemunho Quebrado FE Ferro	
Cisalhamento CiS	O Onulado	L Lisa	S Sulfato CL Clorita BT Botta
Veic v	Acaramento A		QZ Quarto
	Fracção FC FCL		

PROJETO ARNEIROZ II  
PROJETO N° 009-5601  
DESCRITO CMS  
DATA 29/05/00

PAGINA 1 DE 2

660045

**PLANILHA DE CLASSIFICAÇÃO - BIENIAWISKI SISTEMA RMR**

**NOTA** Sempre medir superfícies da base do testemunho

Seção	B - B
Furo N°	<b>SM-12</b>
Inclinação	VERTICAL
Azimute	—
Elevação	361,68m

Data de Execução 15/03/2000  
Tipo de Sondagem MISTA  
Empresa MINAS SOLOS

Norte 9 306 507,2911  
Leste 365 244,2308  
Diâmetro do Testemunho

660646

## PLANILHA DE CLASSIFICAÇÃO - BIENIAWSKI SISTEMA RMR

Seção A - A  
 Furo Nº SM-13  
 Inclinação VERTICAL  
 Azimute —  
 Elevação 370,84m

Data de Execução 07/03/2000  
 Tipo de Sondagem MISTA  
 Empresa MINAS SOLOS

Norte 9 306 370,8952  
 Leste 365 206,8659  
 Diâmetro do Testemunho NX



De	ate	Tipo de Rocha	TCR (%)	RQD (%)	Número	Tipo	Forma	Rugosidade	Preenchimento	Cond	Nível D'água	Resistência	Alteração	Dir /Merg	Faturamento	RMR	Classe Numcro	Observações	
0,00	1,17	SOLO + SAPROLITO										R1	A5				V		
1,17	1,47	Gnaisse	50	0	6	FO	P	R	BI,OX		S	R3	A3	SH,I	F5			Trecho fragmentado	
					4	J	P	R	OX		S	R3	A3	SH,ISV	F5				
PESO RELATIVO ( RMR )				3						20	10	7		-7	5	38	IV		
1,47	2,52	Gnaisse	65	15	17	FO	P	R	BI,OX		S	R4	A2	SH	F5				
					5	J	P-I	R-MR			S	R4	A2	I	F5				
PESO RELATIVO ( RMR )				3						25	10	12		-7	8	51	III		
2,52	3,43	Gnaisse	85	32	14	FO	P	R	BI,OX		S	R4	A2	SH	F4				
					3	J	P	R	OX		S	R4	A2	I	F4				
PESO RELATIVO ( RMR )				8						20	10	12		-7	8	51	II		
3,43	4,61	Gnaisse	60	14	22	FO	P	R	BI		S	R4	A2	SH	F5				
					5	J	P	R	OX		S	R4	A2	I,SV	F5				
PESO RELATIVO ( RMR )				3						20	10	12		-7	5	43	III		
4,61	4,94	Gnaisse	100	55	4	FO	P	R	BI		S	R4	A2	SH	F4				
					2	J	P	R	OX		S	R4	A2	I,SV	F4				
PESO RELATIVO ( RMR )				13						20	10	12		-7	8	56	III		
4,94	5,54	Gnaisse	100	18	9	FO	P	R	BI		S	R4	A2	SH,I	F5				
					4	J	P	R	OX		S	R4	A2	I,SV	F5				
PESO RELATIVO ( RMR )				3						20	10	12		-7	5	43	III		
Condições das Fraturas									valor	Orientação das Descontinuidades									
Superfícies muito rugosas rãc continuas fechadas paredes duras									3C	H- Horizontal (mergulho < 5°)									
Superfícies pouco rugosas abertura < 1 mm paredes duras									25	SI- Subhorizontais (5° < mergulho < 30°)									
Superfícies pouco rugosas abertura < 1 mm paredes moles									20	I- Inclinadas (30° < merg. hc < 65°)									
Superfícies estriadas ou preenchimento < 5 mm ou abertura > 5 mm continuas									1C	SV- Subverticais (60° < mergulho < 85°)									
Preenchimento mole > 5 mm ou abertura > 5 mm continuas									0	V- Verticais (mergulho > 85°)									
Tipo de Descritividade		Forma		Rugosidade		Preenchimento													
Junta J JU		P- Planar	D- Dentada	P- Polida	R- Rugosa	Arg- Argira	G- Gouge										PROJETO ARNEIROZ II		
Fratura Fr	Falha FL	C- Curvado	I- Irregular	K- Slickensded	MR- Muito Rugosa	CA- Caacita	TQ- Testemunha Quebraco	OX- Óxido										PROJETO N° 009-5601	
Cisalhamento CIS	Acamamento A	O- Ondulado		L- Lisa	S- Sulfito	CL- Clorita	FE- Ferro										DESCRITO CMS		
Vento V	Folacão FC FO			QZ- Quartz	BT- Biotita												DATA 29/05/00		
																	PÁGINA 1		
																	DE 2		

66.0047

## PLANILHA DE CLASSIFICAÇÃO - BIENIAWISKI SISTEMA RMR

Seção	A - A
Furo N°	SM-13
Inclinação	VERTICAL
Azimute	---
Elevação	370,84m

Data de Execução 07/03/2000  
Tipo de Sondagem MISTA  
Empresa MINAS SOLOS

Norte	<u>9 306 370,8952</u>
Leste	<u>365 206,8659</u>
Diâmetro do Testemunho	NX



PROJETO ARNEIROZ II

PROJETO N° 009-5601

## **DESCRITO**

CMS

## DATA

29/05/00

PÁGINA

DE 2

## PLANILHA DE CLASSIFICAÇÃO - BIENIAWSKI SISTEMA RMR

Seção B - B  
 Furo N° SM-14  
 Inclinação VERTICAL  
 Azimute —  
 Elevação 365,96m

Data de Execução 17/03/2000  
 Tipo de Sondagem MISTA  
 Empresa MINAS SOLOS

Norte 9 306 428,0663  
 Leste 365 105,2221  
 Diâmetro do Testemunho NX



De	ate	Tipo de Rocha	TCR (%)	RQD (%)	Numero	Tipo	Forma	Rugosidade	Preenchimento	Cond	Nivel D' agua	Resistência	Alteração	Dir /Merg	Fraturamento	RMR	Classe Número	Observações
0,00	0,50	SOLO RESIDUAL										R1	A5				V	
0,50	1,00	Gnaisse	94	0	6	FO	P-O	R	BI		S	R2	A4	SH,I	F5			
					8	J	P-I	R-MR	OX		S	R2	A4	SH,I,SV	F5			
PESO RELATIVO ( RMR )			3							20	10	4		-7	5	35	IV	
1,00	3,59	Gnaisse	97	42	29	FO	C-O	R-MR	BI		S	R5	A1	SH,I	F4			
					15	J	P-I	R-MR	OX		S	R5	A1	SH,I,SV	F4			
PESO RELATIVO ( RMR )			8							25	10	15		-7	8	59	III	
3,59	7,15	Gnaisse	98	70	23	FO	P-O	R-MR	BI		S	R5	A1	SH	F4			
					17	J	P	R-MR	OX		S	R5	A1	I,SV	F4			
PESO RELATIVO ( RMR )			13							25	10	15		-7	8	64	II	
7,15	LIMITE DA SONDAÇÃO																	

## PLANILHA DE CLASSIFICAÇÃO - BIENIAWSKI SISTEMA RMR

Seção C - C  
 Furo Nº SM-15  
 Inclinação VERTICAL  
 Azimute ---  
 Elevação 373,20m

Data de Execução 22/03/2000  
 Tipo de Sondagem MISTA  
 Empresa MINAS SOLOS  
 Norte 9 306 602,6313  
 Leste 365 193,9619  
 Diâmetro do Testemunho NX



De	ate	Tipo de Rocha	TCR (%)	RQD (%)	Número	Tipo	Forma	Rugosidade	Preenchimento	Cond	Nível d'água	Resistência	Alteração	Dir /Merg	Faturamento	RMR	Classific. Número	Observações
0,00	0,65	SOLO RESIDUAL										R1	A5				V	
0,65	1,34	Gnaisse	92	50	8	FO	P-C	R	BI		S	R4	A2	I,SH	F5			
					4	J	P-C	R	OX		S	R4	A2	I	F5			
PESO RELATIVO ( RMR )					13					20	10	12		-7	5	53	III	
1,34	1,74	Gnaisse	100	25	6	FO	P-C	R	BI		S	R5	A1	I,SH	F4			
					2	J	P	R	OX		S	R5	A1	I	F4			
PESO RELATIVO ( RMR )					8					20	10	15		-7	8	54	III	
1,74	3,27	Gnaisse	98	86	8	FO	P	R	BI		S	R5	A1	I,SH	F3			
					2	J	P-C	R	OX		10	R5	A1	I	F3			
PESO RELATIVO ( RMR )					17					20	10	15		-7	10	65	II	
3,27	4,37	Gnaisse	95	38	14	FO	P-O	R	BI		S	R5	A1	SH,I	F4			
					8	J	P	R	OX		10	R5	A1	I	F4			
PESO RELATIVO ( RMR )					8					20	10	15		-7	8	54	III	
4,37	5,00	Gnaisse	98	48	12	FO	P-C	R	BI		S	R5	A1	SH,I	F5			
					3	J	P	R	OX		S	R5	A1	I	F5			
PESO RELATIVO ( RMR )					8					20	10	15		-7	5	51	III	
5,00	5,70	Gnaisse	89	49	7	FO	P-C	R	BI		S	R5	A1	SV,I,SH	F4			
					4	J	P	R	OX		S	R5	A1	I,SV	F4			
PESO RELATIVO ( RMR )					8					20	10	15		-7	8	54	III	

Condições das Fraturas	valor
Superfícies muito rugosas não contínuas fechadas paredes duras	30
Superfícies pouco rugosas abertura < 1 mm paredes duras	25
Superfícies pouco rugosas abertura < 1 mm paredes rígidas	20
Superfícies estradas ou preenchimento < 5 mm ou abertura 1 - 5 mm contínuas	10
Preenchimento mole > 5 mm ou abertura > 5 mm contínuas	0

Orientação das Descontinuidades				
H	Horizontais ( $\text{mergulho} < 5^\circ$ )			
SH	Subhorizontais ( $5^\circ < \text{mergulho} < 30^\circ$ )			
I	Inclinadas ( $30^\circ < \text{mergulho} < 60^\circ$ )			
SV	Subverticais ( $60^\circ < \text{mergulho} < 85^\circ$ )			
V	Verticais ( $\text{mergulho} > 85^\circ$ )			

Tipos de Descontinuidade	Forma	Rugosidade	Preenchimento
Junta c JL	P Planar	D Derradeada	G Gouge
Fratura Fr	C Curvado	I Irregular	CA Calcita
Cisalhamento CIS	O Ondulado	K Slickensided	MR Muito Rugosa
Vec V		L Lisa	TQ Testemunho Quebrado
			FE Ferro
			S Sufete
			CL Clorita
			QZ Quartzo
			B <sup>+</sup> Biotita

PROJETO ARNEIROZ II  
 PROJETO Nº 009-5601  
 DESCRITO CMS  
 DATA 29/05/00

## PLANILHA DE CLASSIFICAÇÃO - BIENIAWISKI SISTEMA RMR

**NOTA** Sempre medir superfícies da base do testemunho

Seção	C - C
Furo N°	<b>SM-15</b>
Inclinação	VERTICAL
Azimute	---
Elevação	373,20m

Data de Execução	<u>22/03/2000</u>	Norte	<u>9 306 602,6313</u>
Tipo de Sondagem	<u>MISTA</u>	Leste	<u>365 193,9619</u>
Empresa	<u>MINAS SOLOS</u>	Diâmetro do Testemunho	<u>N</u>



**Golder**  
Associates

**PROJETO** 0 **PROJETO Nº** 0

DESCRITO 0 DATA 00/01/00

PÁGINA 2 DE 2

66051

#### **4.2.3 Elaboração de Seções Geomecânicas**

Para a elaboração do modelo geomecânicos do maciço, 4 seções geomecânicas verticais foram elaboradas a partir da caracterização dos testemunhos de sondagem:

##### **Seções Verticais**

- Seção Vertical Longitudinal A-A pelo eixo da Barragem (Desenho II-3-03/04-000);
- Seção Vertical B-B Transversal ao eixo da Barragem (Desenho II-3-04/04-000);
- Seção Vertical C-C Transversal ao eixo da Barragem (Desenho II-3-04/04-000);
- Seção Vertical D-D Transversal ao eixo da Barragem (Desenho II-3-04/04-000);

Em cada seção vertical estão indicadas as classes geomecânicas de maciço bem como os parâmetros de classificação utilizadas.

#### **4.2.4 Classificação Geomecânica do Maciço**

Para a classificação geomecânica do maciço foi utilizada a classificação de Bieniawiski apresentada na Tabela 4.6

A Tabela 4.7 apresenta o caráter ilustrativo, a correlação entre as classificações de Bieniawiski e de Barton *et al* no que se refere ao RMR e aos índices de Q, bem como uma avaliação entre as classes. apesar desta última classificação não ter sido empregada na atual fase dos estudos .

**TABELA 4.7**  
**CLASSE DE MACIÇO**  
**CLASSIFICAÇÃO GEOMECÂNICA DE BIENIAWISKI E BARTON**

<b>CLASSE</b>	<b>I</b>	<b>II</b>	<b>III</b>	<b>IV</b>	<b>V</b>
RMR	100 – 80	80 – 60	60 - 40	40 – 20	20 – 0
ÍNDICE Q	> 48	48 – 10	10 - 0,5	0,5 - 0,06	< 0,06
TERMO DESCritivo	Muito bom	Bom	Regular	Pobre	Solo / rocha alterada

#### 4.2.5 Estratos Geomecânicos do Maciço

O modelo geomecânico da região de implantação da Barragem de Arneiróz-II, elaborado com base na caracterização dos testemunhos de sondagem e nas seções geomecânicas, demonstrou que existem 3 classes geomecânicas principais no maciço rochoso.

- Classe V - Estrato Superior – constituído por solo residual, saprolito e aluvião, com resistência muito branda (R1), e material extremamente alterado (A5), ocorrendo com espessuras muito reduzidas, variando de algumas dezenas de centímetros a poucos metros, nas regiões das ombreiras, a pouco mais de quatro metros na região do leito do Rio Jaguaribe.
- Classe III-IV – Estrato Intermediário - correspondendo maciço rochoso muito fraturado (F4) a extremamente fraturado (F5), composto por rochas medianamente resistentes a resistentes (R3 e R4) e pouco alteradas (A2) a medianamente alteradas (A3). Em termos práticos, o critério mais marcante para este limite de classe foi o grau de alteração por ser este mais marcante e mensurável
- Classe II – Estrato inferior correspondente ao maciço rochoso bom a muito bom, pouco fraturado, muito resistente (R5), composta por rocha sã (A1).

#### 4.2.6 Descontinuidades Estruturais do Maciço

Quanto ao aspecto geomecânico do maciço, as descontinuidades observadas nos testemunhos de sondagem e no mapeamento de campo não apontam para zonas de fraquezas expressivas dos constituintes litológicos presentes na região de implantação da barragem.

As fraturas/juntas presentes estão na maioria dos casos seladas, ou parcialmente abertas e oxidadas, com formas curviplanares, rugosas a muito rugosas e sem preenchimento por materiais brandos que venham a comprometer a resistência do maciço

A xistosidade/foliação, da mesma forma que as fraturas/juntas, também não representa excessiva limitação das características geomecânicas do maciço rochoso, apesar do seu caráter marcante e persistente.

As estruturas levantadas em campo, apresentadas na tabela 4.8, foram analisadas e interpretadas utilizando-se os estereogramas de freqüência, primeiramente separando-as quanto ao tipo (fratura e foliação). O histograma da figura 4.1 apresenta o número de medidas de cada feição estrutural levantada no mapeamento de campo. Os diagramas de freqüência de pólos de todas as estruturas estão apresentadas nas figuras 4.2 e 4.3.

As atitudes obtidas do estereograma dos pólos das fraturas apontam para dois máximos de concentração com direções N84°W/88°SW e N86°E/65°NW, apresentando no entanto orientações preferenciais também nas direções N14°W/89°NE e N48°E/85°SE (Figura 4.4).

**TABELA 4.8**
**DADOS DO LEVANTAMENTO DE CAMPO NA  
REGIÃO DA BARRAGEM DE ARNEIRÓZ II**

PONTO	DIREÇÃO DO Mergulho	Mergulho	Estrutura
4	332	26	Sn
	255	90	J
	209	62	Sn
6	133	24	Sn
	184	90	J
	182	85	J
	2	86	J
	110	84	J
	353	73	J
7	305	38	Sn
	46	58	J
	11	83	J
8	329	29	Sn
	309	40	Sn
	138	81	J
	108	56	J
	76	85	J
	82	74	J
	168	88	J
	348	80	J
	66	60	J
	234	70	J
9	122	48	J
	307	29	Sn
	314	39	Sn
	52	80	J
	338	74	J
	41	78	J
	55	75	J
10	21	75	J
	64	28	E
	68	16	E
	59	14	E
	121	76	J

continuação ..

PONTO	DIREÇÃO DO MERGULHO	MERGULHO	ESTRUTURA
11	343	54	Sn
	345	64	Sn
	357	52	Sn
	78	86	J
	190	84	J
	186	77	J
	188	81	J
	29	86	J
	83	87	J
	197	69	J
	247	71	J
	224	84	J
12	113	44	Sn
	114	44	Sn
	230	70	J
	154	75	J
	51	74	J
	226	60	J
	130	90	J
	282	73	J
	181	84	J
13	355	64	J
	26	84	J
	309	65	J
	353	64	J
	19	80	J
	346	71	J
	118	87	J
	188	88	J
	185	88	J
	19	78	J
	49	63	J
	346	72	J
	210	73	J
	112	70	J
	355	66	J
	356	66	J

continuação .

PONTO	DIREÇÃO DO MERTGULHO	MERTGULHO	ESTRUTURA
13	33	77	J
	358	71	J
	15	85	J
	95	62	J
	134	72	Sn
	122	72	Sn
	119	27	Sn
	102	37	Sn
	126	30	Sn
	133	46	Sn
	132	28	Sn
	130	72	Sn
14	109	36	Sn
	4	68	Sn
	232	86	J
	79	87	J
	59	78	J
	265	65	J
	339	56	J
	329	53	J
	70	15	E
	62	17	E
	78	36	E
	65	26	E
16	326	32	Sn
	69	55	J
	322	74	J
	93	75	J
	122	33	Sn
17	220	88	J
	177	85	J
18	57	33	Sn
	75	22	Sn
	88	20	Sn
	74	82	J
	148	83	J
	153	88	J

continuaçāo.

PONTO	DIREÇÃO DO MERTGULHO	MERTGULHO	ESTRUTURA
20	121	29	Sn
	113	39	Sn
	255	84	J
	249	78	J
	146	46	J
	72	77	J
21	49	13	E
	331	35	Sn
	102	39	Sn
	186	74	J
23	99	85	J
	133	56	J
	135	60	J
	254	88	J
	213	78	J
	125	85	J
	338	66	J
	313	80	J
	215	65	J
	297	82	J
	180	88	J
	17	26	Sn
	195	19	Sn
	69	18	Sn
	348	26	Sn
	357	34	Sn
	105	22	Sn
25	34	26	Sn
	131	75	J
	138	86	J
	236	72	J
	108	35	J
	119	47	Sn
32	85	56	Sn
	357	75	J
	173	84	J

continuação .

PONTO	DIREÇÃO DO MERCULHO	MERCULHO	ESTRUTURA
37	69	62	J
	237	60	J
	253	32	Sn
38	138	80	J
	312	85	J
	272	77	J
39	335	74	J
	192	67	J
	235	83	J
	306	80	J
	60	33	Sn
40	135	83	J
	230	40	J
	133	86	J
	42	84	J
	142	88	J
	43	39	J
	113	77	J
	145	87	J
	228	68	J
	238	59	J
	62	14	Sn
	62	13	Sn

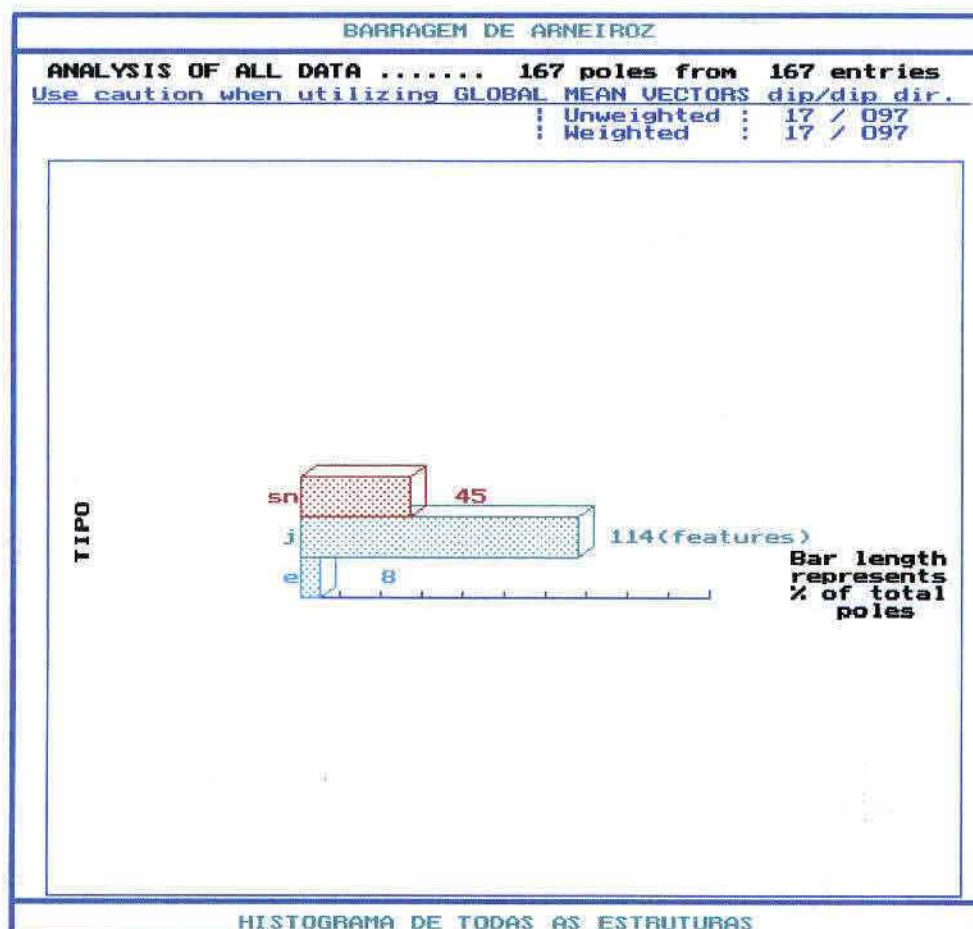
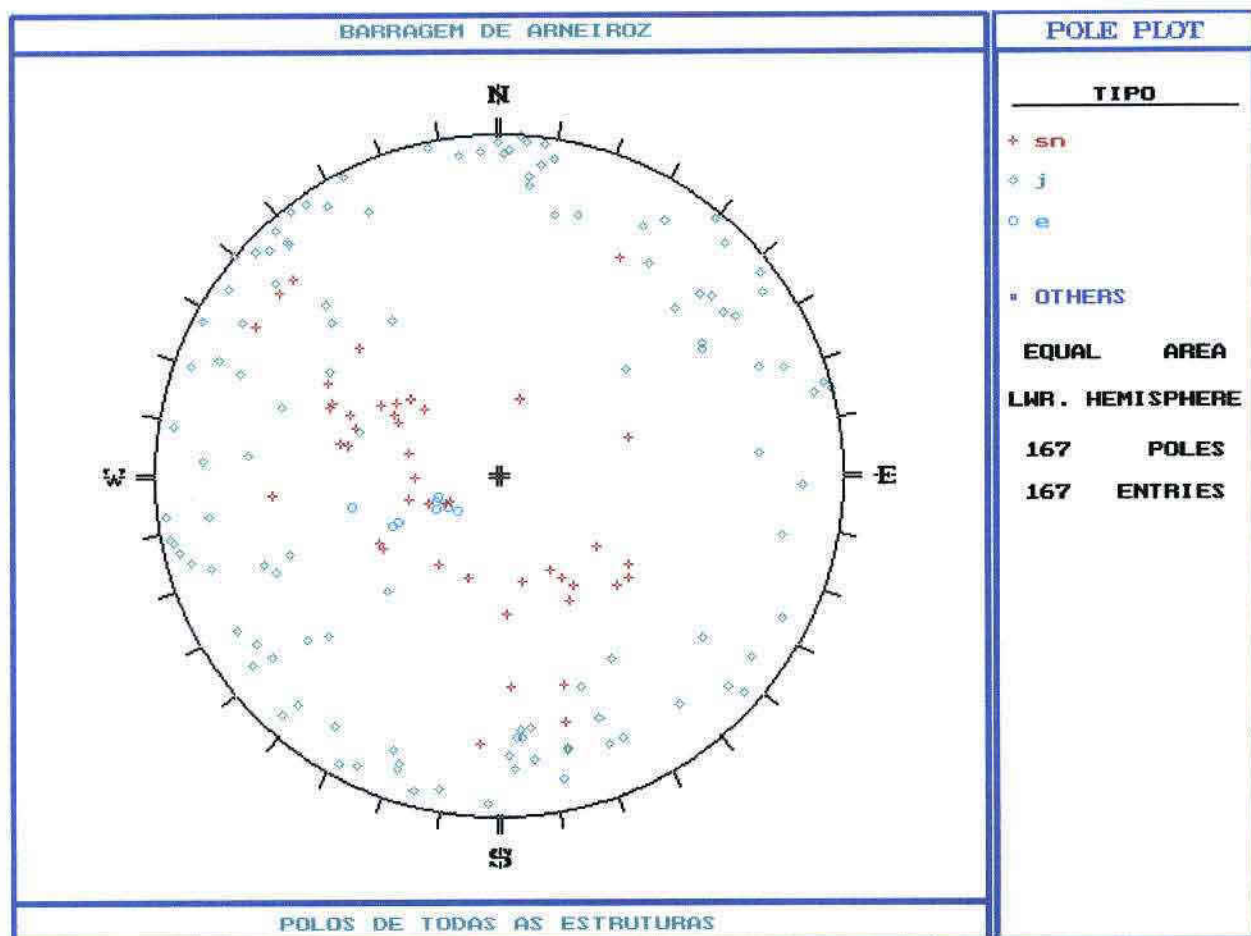


FIGURA 4.1 - Histograma com as feições observadas e o respectivo número de medidas coletadas em campo, onde "Sr" representa a foliação ou xistosidade, "j" o conjunto de fraturas e "e" a lineação mineral.



**FIGURA 4.2 - Distribuição dos pólos de todas as estruturas - Desconsiderar neste caso as representações de e que referem-se a linhas.**

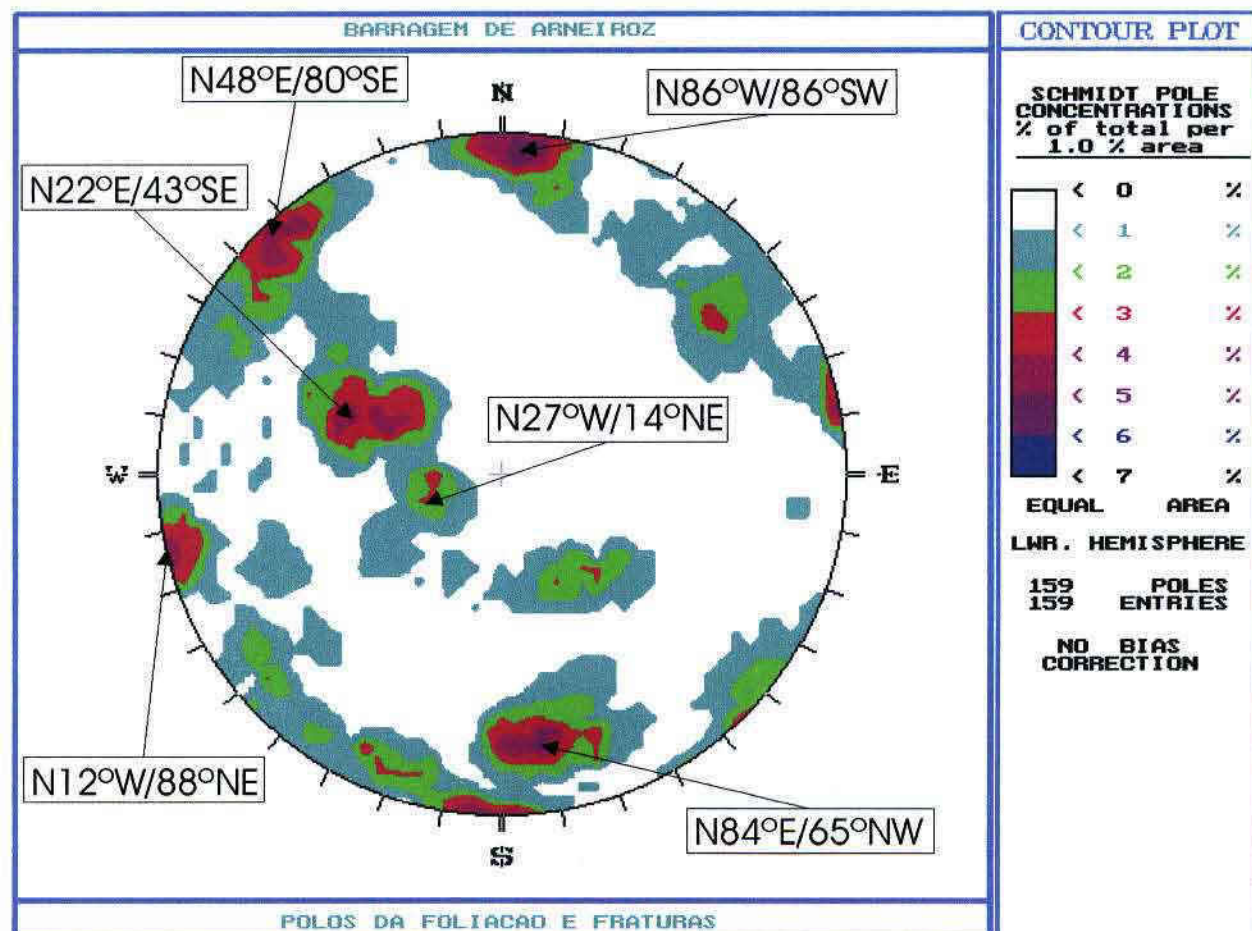


FIGURA 4.3 - Diagrama de projeção estereográfica dos pólos da foliação e das fraturas (máximo 5,66% - plano N86°W / 86°SW).

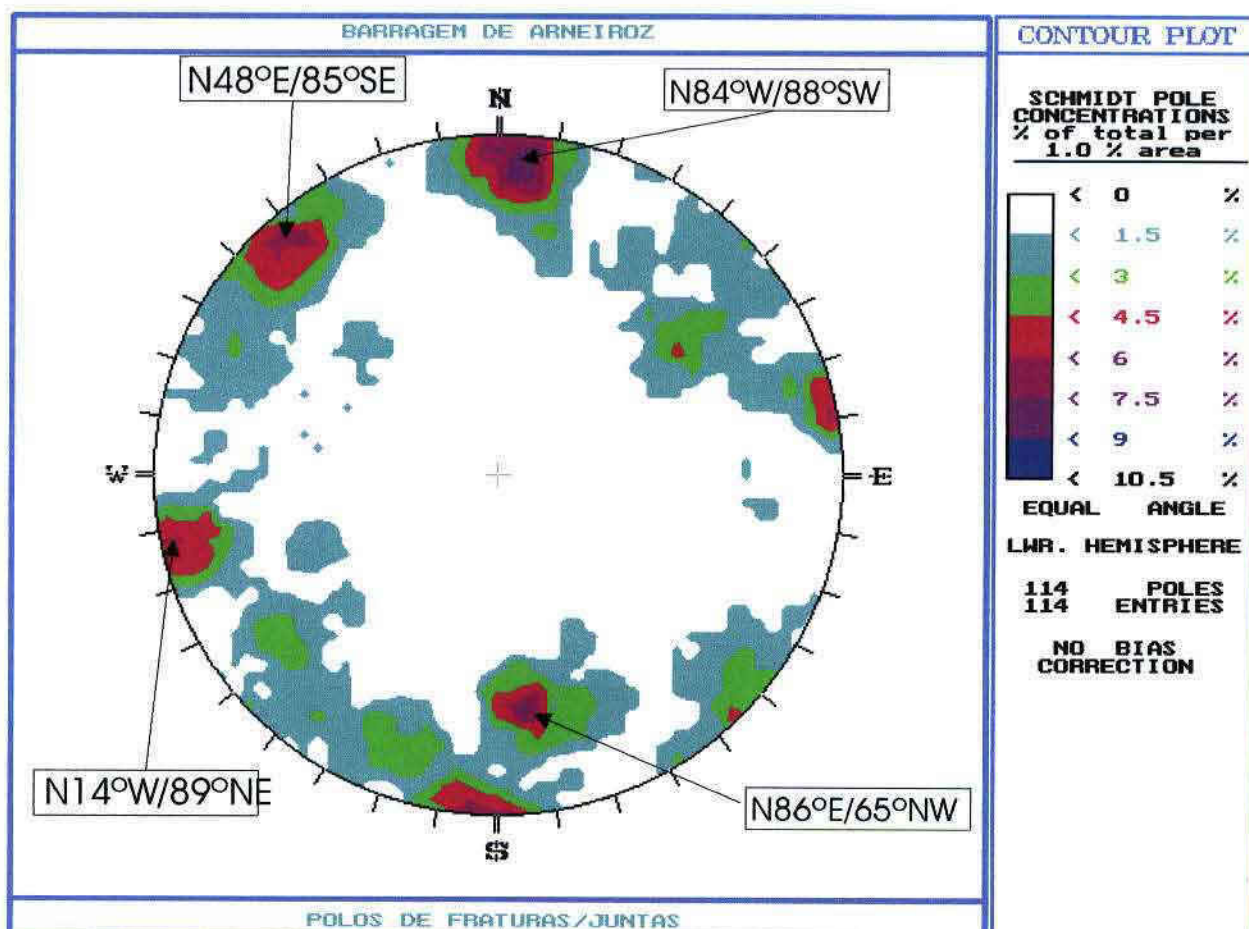
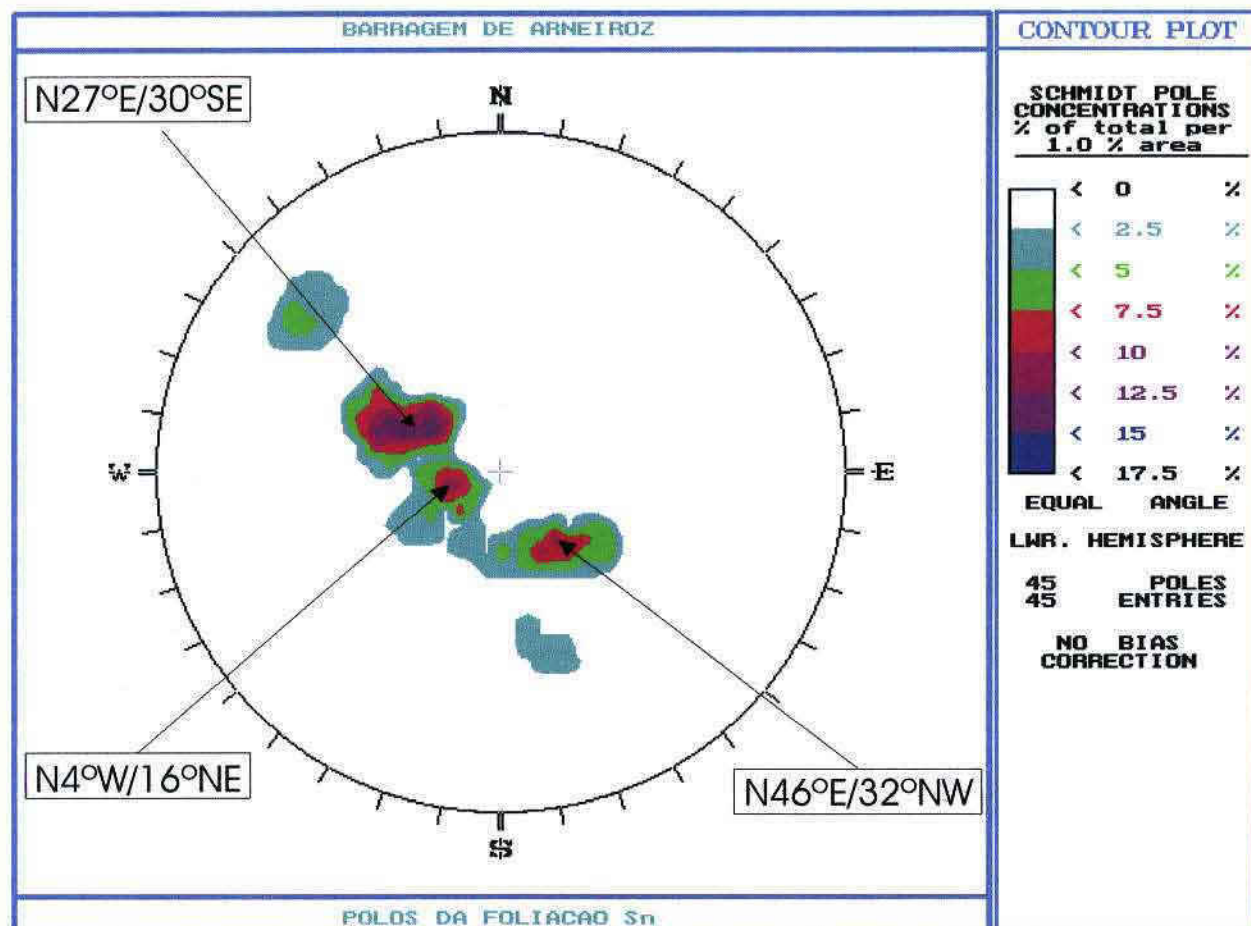


FIGURA 4.4 - Diagrama de projeção dos pólos das fraturas e juntas (máximo 7,89% - plano N84°W / 88°SW).

As atitudes de foliação, apresentaram um máximo de concentração em N27°E/30°SE e duas concentrações secundárias em N04°W/16°NE e N46°E/32°NW (Figura 4.5)

As lineações minerais são marcadas pela orientação preferencial de minerais micáceos, associados à foliação principal, e apresentaram orientação preferencial segundo N64°E/20° (Figura 4.6).



**FIGURA 4.5 -** Diagrama de projeção estereográfica dos pólos da foliação Sn (máximo 15,56% - plano N27°E / 30°SE).

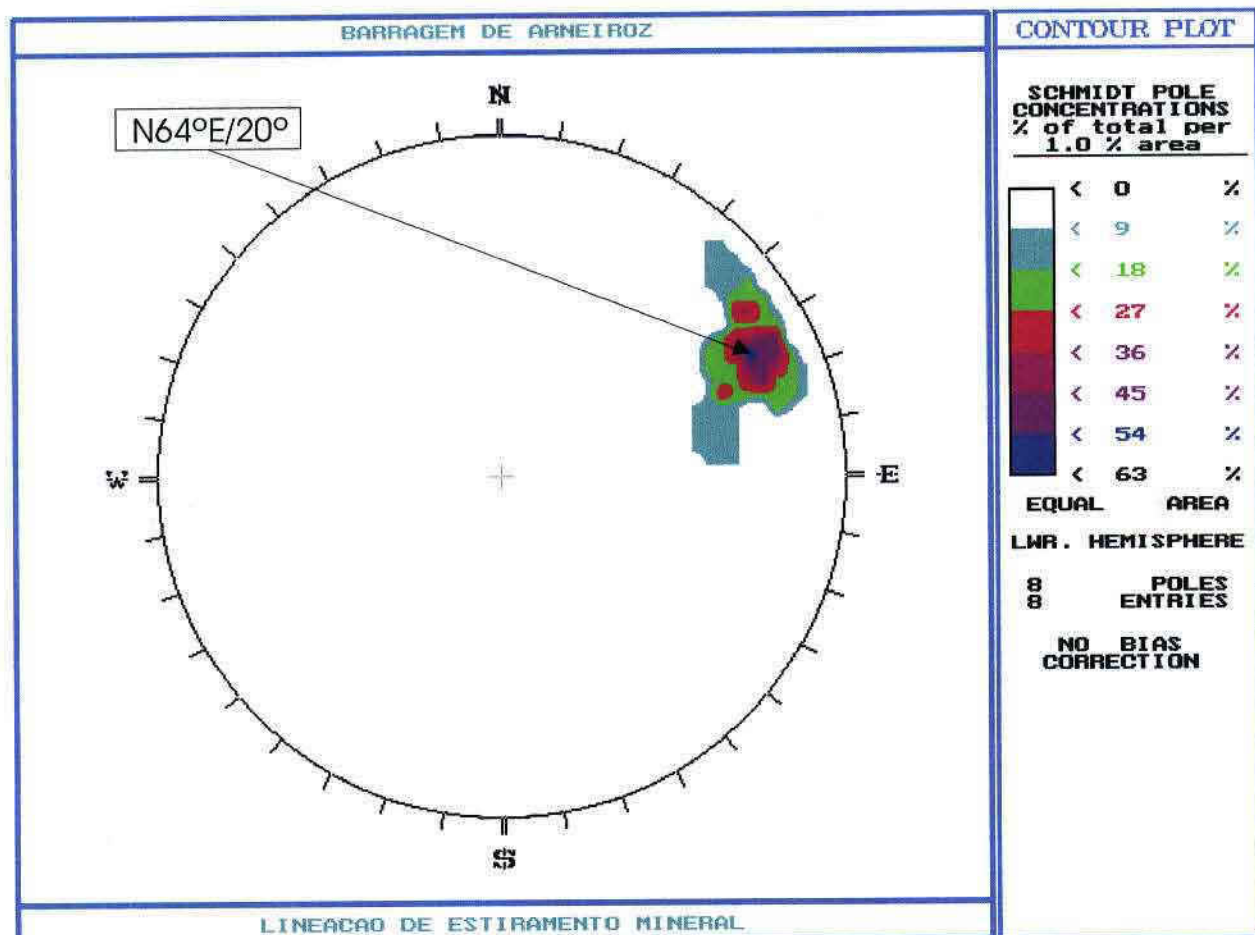


FIGURA 4.6 - Diagrama da lineação de estiramento mineral (máximo 62,5% - N64°E / 20°).

#### **4.2.7 Condições de Fundação e Tratamentos Previstos**

As condições de fundação da barragem e do vertedouro podem ser consideradas boas. O grau de fraturamento do maciço, em geral, é maior nos primeiros metros superficiais, condicionados pelo alívio de tensões gerado pela erosão do vale. Entretanto, é conveniente salientar que as sondagens e ensaios de perda de água executados não identificaram nenhuma feição geológica importante, como juntas de alívio, que pudessem condicionar maiores precauções quanto ao tratamento de fundação.

A fundação do vertedouro será constituída, parte em maciço tipo III/IV e parte em maciço tipo II. O maciço tipo III/IV, nesta região, apresenta grau de fraturamento F4 e perda de água da ordem de  $2 \text{ l}/\text{mxminxkg}/\text{cm}^2$ , o que significa perda de água mediana. Já o maciço tipo II apresenta grau de fraturamento variável, de F1 a F4, e perdas de água variando entre zero e  $1,0 \text{ l}/\text{mxminxkg}/\text{cm}^2$ , o que significa baixa perda de água. Em ambos os trechos, os resultados descritos indicam que a maior parte das fraturas se encontram fechadas.

Na ombreira direita, entre o vertedouro e o leito do rio, a barragem terá como fundação os maciços tipo III/IV e II. Nesta região, os dois tipos de maciço apresentam majoritariamente, grau de fraturamento F3. As perdas de água foram baixas, da ordem de  $1,0 \text{ l}/\text{mxminxkg}/\text{cm}^2$ .

No leito do rio, o maciço apresenta grau de fraturamento F4 para o maciço tipo III/IV e grau de fraturamento F2, para o maciço tipo II. Nesta região, as perdas de água foram mais elevadas, sendo determinadas perdas da ordem de  $8,0 \text{ l}/\text{mxminxkg}/\text{cm}^2$ .

Na ombreira esquerda, a barragem será apoiada no maciço tipo III/IV em toda a sua extensão. Distinguem-se para esta região dois trechos: o primeiro entre o leito do rio e a estaca 58+00, onde a perda de água foi elevada (perda da ordem de  $9,0 \text{ l}/\text{mxminxkg}/\text{cm}^2$ ), e o segundo da estaca 58+00 até o final da barragem, onde as perdas foram médias (perdas da ordem de  $2,0 \text{ l}/\text{mxminxkg}/\text{cm}^2$ ). Observa-se que a sondagem SR-01, executada na campanha de investigações do projeto elaborado pelo DNOCS em 1992, apresentou excessiva perda de água, não condizente com o restante dos ensaios executados. As perdas determinadas, da ordem de  $160,0 \text{ l}/\text{mxminxkg}/\text{cm}^2$ , também não se correlacionam com os graus de fraturamento e alteração do maciço tipo II. Assim sendo, os resultados deste ensaio não foram considerados.

Das condições descritas, conclui-se da necessidade de adoção de uma cortina de injeções de impermeabilização para homogeneizar as permeabilidades e eliminar os maiores valores de perda de água. Esta cortina de injeções poderá ser iniciada com os furos exploratórios espaçados a cada 6,00 m, e prosseguir fechando o espaçamento nos pontos onde os ensaios de perda de água apresentarem absorções maiores que  $5 \text{ l}/\text{mxmin}/\text{kg}/\text{cm}^2$ . Tendo em vista que não há nenhum condicionante geológico importante, a profundidade dos furos deverá ser de 0,4 h, sendo h a carga hidráulica sobre a fundação. Assim os furos da cortina exploratória terão profundidade máxima de 11,50 m. A esta cortina de injeções de impermeabilização deverão ser associadas duas linhas de furos rasos, uma a montante e outra a jusante, com profundidade de 4,00 m e espaçados a cada 3,00 m, para injeção de fraturas mais freqüentes, à pequena profundidade.

---

Com relação ao tratamento superficial de fundação da barragem, este deverá seguir, em linhas gerais, as seguintes recomendações

- **região do núcleo teórico** – o tratamento deverá ser rigoroso na região do núcleo teórico, onde deverá ser removido todo o material solto e alterado, e as fraturas preenchidas com material alterado ou erodível deverão ser escavadas até uma profundidade equivalente a três vezes a sua espessura, sendo a seguir recompostas com concreto de regularização. Depressões que não possam ser suavizadas também deverão ser preenchidas com concreto de forma a suavizar a superfície final da fundação. Os taludes existentes deverão ser abrandados para permitirem a rigorosa compactação. Após estes trabalhos, toda a região do núcleo teórico deverá ser lavada com jatos de água e ar;
- **região do tapete drenante** – o tratamento deverá incluir a regularização da superfície da rocha através de desmonte mecânico ou a fogo cuidadoso, de modo a permitir o lançamento do material drenante. Todo o material solto e alterado deverá ser removido e a região deverá ser preenchida com material do filtro;
- **região a montante do núcleo teórico** – o tratamento desta região deverá incluir a regularização da superfície e remoção das zonas de materiais muito alterados. As depressões existentes e aquelas formadas pela remoção de materiais alterados deverão ser preenchidas com o material do aterro. A superfície final desta zona deverá ser limpa apenas com jatos de ar.

#### 4.3 Materiais Naturais de Construção

Este item trata do estudo das fontes de obtenção, das propriedades geotécnicas e da aplicabilidade dos materiais naturais de construção às diversas partes da obra.

##### 4.3.1. Materiais Terrosos

Próximo ao eixo do barramento, as ocorrências de solos são escassas, não tendo sido identificada no reconhecimento de campo, nenhuma área potencialmente aproveitável como área de empréstimo. No entorno do eixo é generalizada a ocorrência de solo residual de gnaisse, cuja espessura varia de 0,50 a 1,00 m, nas ombreiras. No leito do rio ocorrem aluviões silto arenosos com espessuras variáveis, atingindo até 4,00 m.

Áreas com ocorrências de solos coluvionares, com características adequadas à construção de barragens, foram identificadas na área do reservatório, a distâncias que variam de 5,00 a 8,00 km. Nestas áreas, o capeamento de solo também é pouco espesso, apresentando espessura média da ordem de 0,50 m de material aproveitável. Assim, extensas áreas tiveram de ser pesquisadas, para obtenção de material em volume suficiente para execução do maciço.

A investigação dos empréstimos foi executada apoiada nos trabalhos de mapeamento geológico, que identificaram os locais onde ocorrem os depósitos mais promissores. Nestes locais foram

executados poços de investigação, distanciados a cada 200 m. Assim, foram selecionadas três áreas de empréstimo, cujas características são apresentadas a seguir.

Os volumes cubados nas três áreas estudadas são apresentados nas Tabelas 4.1 a 4.3. No Volume 3 A, anexo deste relatório, são apresentados o boletins de sondagem e os resultados dos ensaios geotécnicos de laboratório.

**TABELA 4.1**

**Área de Empréstimo 1 - Proprietário: Joaquim Quincas**

Área estudada	840 126 m <sup>2</sup>
Nº de poços executados	31
Espessura média do expurgo	0,10 m
Espessura média de mat. utilizável	0,55 m
Volume de material utilizável	457 400 m <sup>3</sup>
Volume de expurgo	89 300 m <sup>3</sup>
Distância ao eixo da barragem	5,45 km

**TABELA 4.2**

**Área de Empréstimo 2 - Proprietário: Jenival Benício**

Área estudada	760 650 m <sup>2</sup>
Nº de poços executados	29
Espessura média do expurgo	0,10 m
Espessura média de mat. utilizável	0,52 m
Volume de material utilizável	401 900 m <sup>3</sup>
Volume de expurgo	83 400 m <sup>3</sup>
Distância ao eixo da barragem	7,0 km

**TABELA 4.3**

**Área de Empréstimo 3 - Proprietário: Antônio Fico**

Área estudada	1 599 295 m <sup>2</sup>
Nº de poços executados	55
Espessura média do expurgo	0,10 m
Espessura média de mat. utilizável	0,52 m
Volume de material utilizável	792 100 m <sup>3</sup>
Volume de expurgo	167 500 m <sup>3</sup>
Distância ao eixo da barragem	8,63 km

A Tabela 4.4 apresenta o resumo do volume cubado nas três áreas selecionadas

**TABELA 4.4**

**Resumo dos volumes das áreas de empréstimo**

<b>LOCAL</b>	<b>Volume (m<sup>3</sup>)</b>	
	<b>Utilizável</b>	<b>Expargo</b>
Área de empréstimo 1	457 400	89 300
Área de empréstimo 2	401 900	83 400
Área de empréstimo 3	792 100	167 500
Volume Total	1 651 400	340 200

A localização das áreas de empréstimo e dos respectivos poços de investigação estão indicados no desenho nº II-3-05/05-000

As principais características dos solos coluvionares dos empréstimos são apresentadas nas Tabelas 4 5 a 4 7 – Resumo dos Ensaios de Caracterização, na Figura 4.7 – Áreas de Empréstimo 1.2 e 3 – Curvas de Distribuição Granulométrica, na Figura 4 8 – Áreas de Empréstimo 1,2 e 3 - Compactação – Proctor Normal e na Figura 4 9 – Áreas de Empréstimo 1, 2 e 3 – Carta de Plasticidade

**TABELA 4.5**
**Área de Empréstimo 1 – Resumo dos Ensaios de Carracterização**

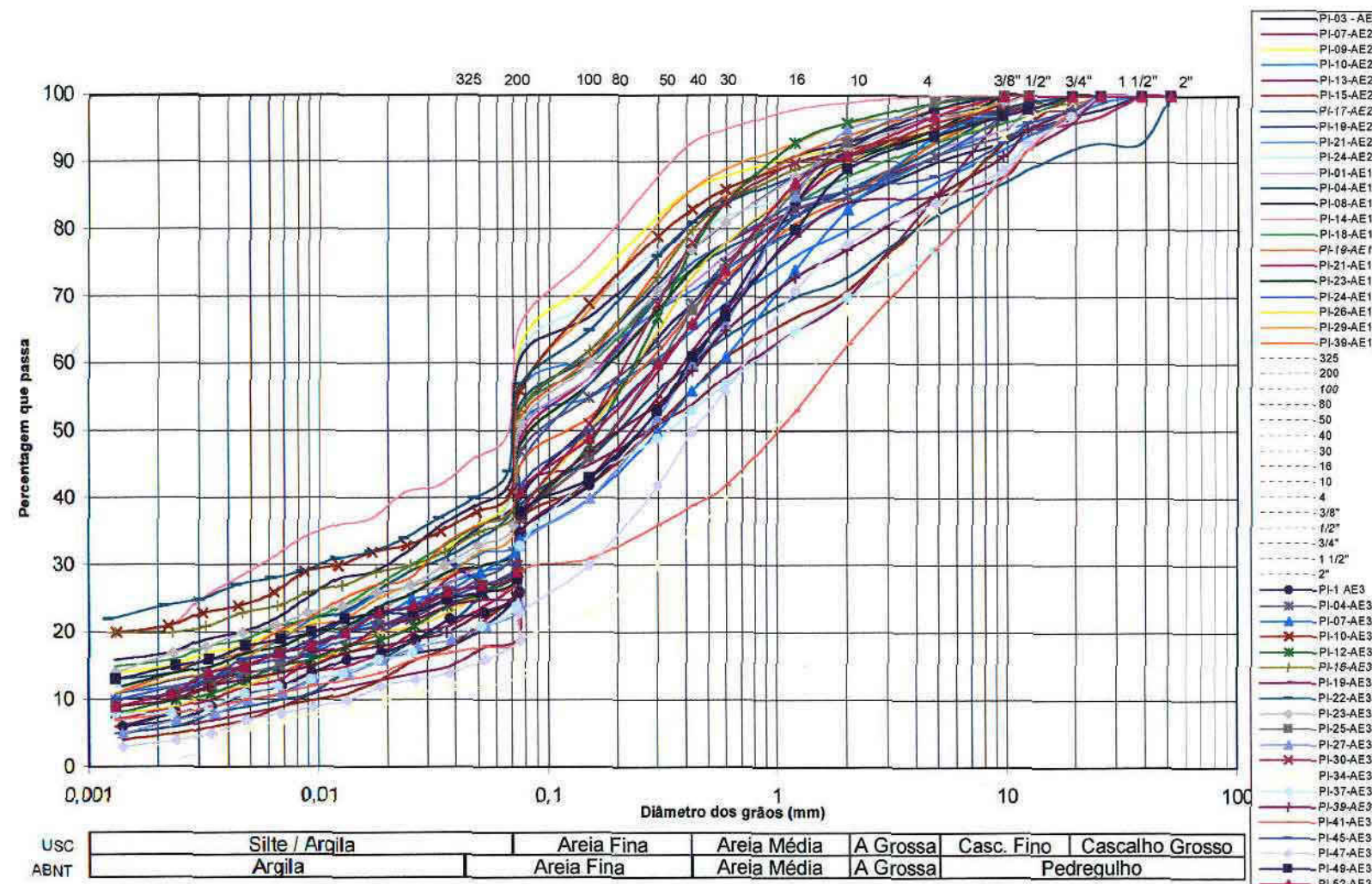
Peneira	GRANULOMETRIA											
	Poço de Investigação N°											
	1	4	8	14	18	19	21	23	24	26	29	39
2"	Pe	100	100	100	100	100	100	100	100	100	100	100
1 1/2"	rc	100	100	100	100	100	100	100	100	100	100	100
1"	en	100	100	100	100	100	100	100	100	100	100	100
3/4"	ta	100	100	100	100	100	100	100	100	100	100	100
1/2"	ge	98	99	100	100	97	100	99	100	99	100	99
3/8"	m	95	98	100	100	96	99	97	100	97	99	98
Nº 4	Pa	92	92	97	100	93	98	95	95	91	96	97
Nº 10	ss	86	86	93	99	88	94	90	90	86	90	85
Nº 40	an	72	74	81	93	74	80	66	74	75	73	68
Nº 200	(%)	50	54	61	66	53	52	37	48	45	38	56
<0,005		15	17	20	28	19	17	11	17	15	12	13
LIMITES DE ATTERBERG												
Lim de Liquidez LL - (%)		35	35	36	37	36	37	34	35	35	34	36
Lim de Plasticidade - LP (%)		20	19	18	18	20	20	23	20	21	22	19
Indice de Plasticidade (%)		15	16	18	19	16	17	12	15	14	12	13
CLASSIFICAÇÃO U.S.C.S.												
Classificação U.S.C.S	SC	CL	CL	CL	CL	CL	SC	SC	SC	SC	CL	SC
COMPACTAÇÃO												
Densidade Seca (máx.) - $\gamma_{\text{seca}}$ ( $\text{kg/m}^3$ )	2,028	1,82	1,568	1,6	1,725	1,799	1,866	1,802	1,866	1,928	1,72	1,846
Umidade ótima - $h_{\text{ótima}}$ (%)	17,5	14,3	15,9	17,7	13,7	13,3	13	13,5	11,3	11,2	15,5	13,6
Umidade Natural - h - (%)	17,57	17,6	12,19	16,67	10,63	11,44	13,42	11,64	9,89	11,15	12,91	13,7

**TABELA 4.6**
**Área de Empréstimo 2 – Resumo dos Ensaios de Caracterização**

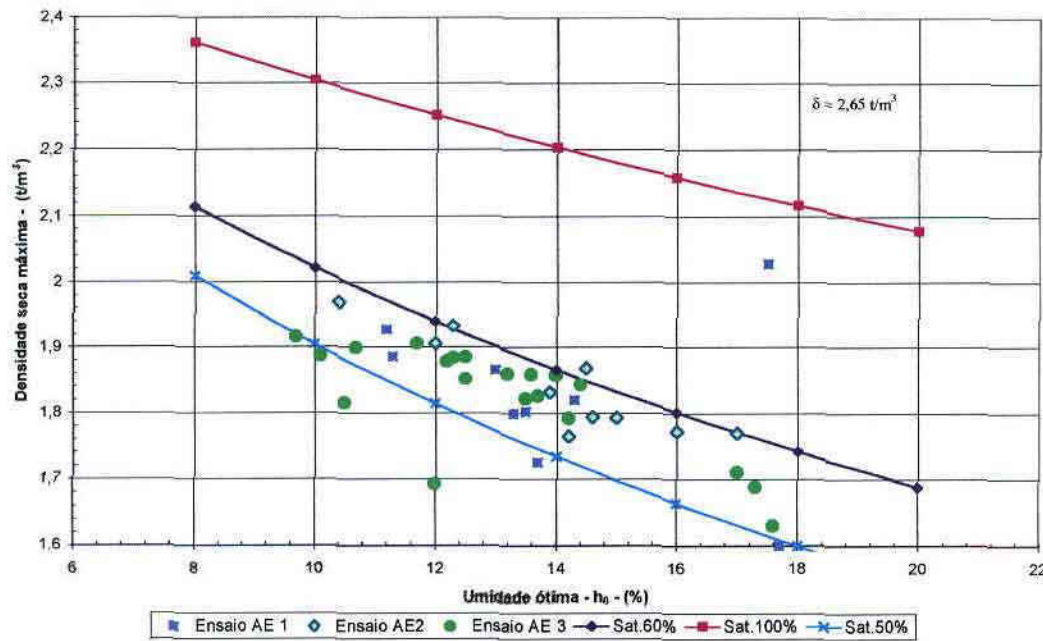
Peneira	GRANULOMETRIA									
	Poço de Investigação N°									
	3	7	9	10	13	15	17	19	21	24
2"										
1 1/2"	Percentagem Passante (%)	100	100	100	100	100	100	100	100	100
1"		100	100	100	100	100	93	100	100	100
3/4"		98	97	100	99	100	100	93	100	100
1/2"		97	96	100	97	100	100	92	100	98
3/8"		95	95	97	94	99	96	89	99	96
Nº 4		93	94	96	92	97	93	87	98	95
Nº 10		90	91	94	87	85	83	82	95	91
Nº 40		84	86	92	80	70	71	73	91	84
Nº 200		69	74	86	65	54	56	60	77	71
<0,005		40	49	63	51	41	37	39	53	56
		10	12	18	15	8	7	9	16	17
LIMITES DE ATTERBERG										
Lim de Liquidez LL - (%)		29	30	32	31	29	30	30	31	31
Lim de Plasticidade - LP (%)		21	20	19	17	19	20	21	19	18
Indice de Plasticidade (%)		8	10	13	14	10	10	9	12	13
CLASSIFICAÇÃO U.S.C.S.										
Classificação U.S.C.S	SC	SC	CL	CL	SC	SC	SC	CL	CL	CL
COMPACTAÇÃO										
Densidade Seca (máx.) - $\gamma_{\text{seca}}$ ( $\text{kg/m}^3$ )	1,97	1,794	1,765	1,832	1,906	1,933	1,868	1,77	1,793	1,77
Umidade ótima - $h_{\text{ótima}}$ (%)	10,4	14,6	14,3	13,9	12	12,3	14,5	17	15	16
Umidade Natural - h - (%)	9,91	11,7	11,65	6,64	7,03	12,31	14,02	8,66	7,16	16,61

**TABELA 4.7**
**Área de Empréstimo 3 – Resumo dos Ensaios de Caracterização**

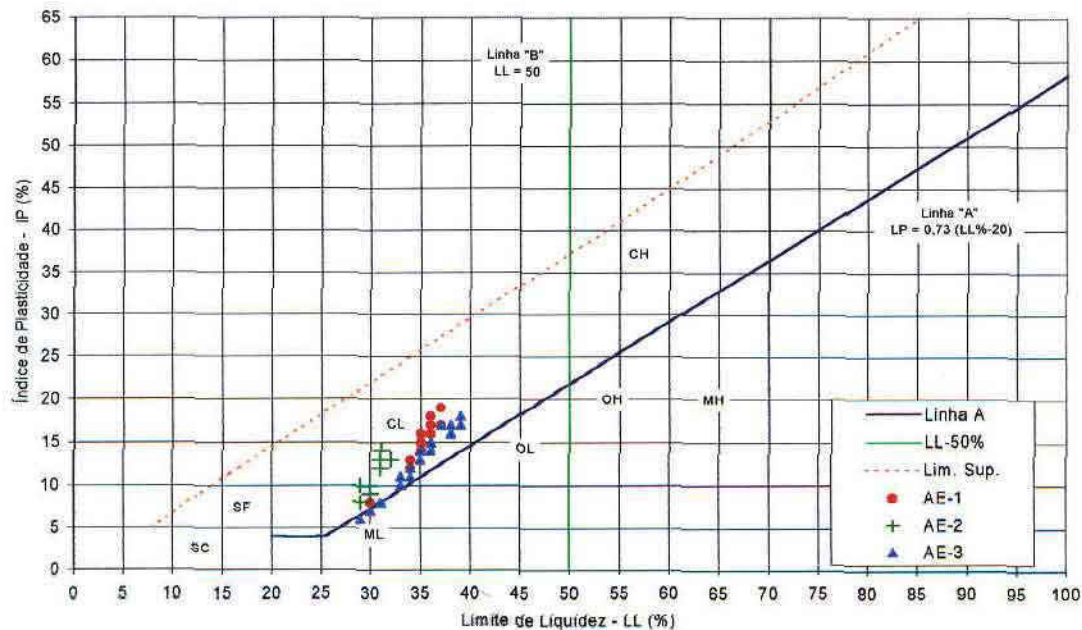
Peneira		GRANULOMETRIA																			
		Poço de Investigação Nº																			
		1	4	7	10	12	16	19	22	23	25	27	30	34	37	39	41	45	47	49	52
2"		100	100	100	100	100	100	100	100	100	100	100	100	100	100	100	100	100	100	100	
1 1/2"		100	100	100	100	100	100	100	100	100	100	100	100	100	100	100	100	100	100	100	100
1"		100	100	100	100	100	100	100	100	100	100	100	100	100	100	100	100	100	100	100	100
3/4"		100	97	100	100	100	99	96	100	100	100	98	98	99	97	98	98	98	97	100	100
1/2"		100	95	99	100	100	99	92	99	100	100	98	98	97	93	95	92	96	93	98	100
3/8"		100	94	98	98	100	98	88	98	99	100	97	98	94	89	91	88	93	89	97	100
Nº 4		98	91	94	95	99	94	85	94	97	99	97	96	83	77	85	77	88	84	94	97
Nº 10		92	85	83	92	96	91	84	91	92	93	95	91	68	70	77	63	86	78	89	91
Nº 40		60	69	56	83	77	80	62	81	77	68	60	78	35	53	59	39	66	50	61	66
Nº 200		35	47	34	56	37	53	35	57	51	37	33	38	19	33	37	29	42	23	38	41
<0,005	Percentagem Passante (%)	11	15	10	25	13	23	14	27	20	14	10	15	6	11	13	10	16	7	18	15
LIMITES DE ATTERBERG																					
Lím. de Líquidez LL - (%)		34	38	34	38	36	37	34	39	39	35	33	33	29	31	35	31	36	30	35	35
Lím. de Plasticidade - LP (%)		23	22	23	21	22	20	22	21	22	22	23	22	23	23	22	23	21	23	21	22
Índice de Plasticidade (%)		11	16	11	17	14	17	12	18	17	13	10	11	6	8	13	8	15	17	14	13
CLASSIFICAÇÃO U.S.C.S.																					
Classificação U S C S		SC	SC	SC	CL	SC	CL	SC	CL	CL	SC	SC	SC	SM	SC	SC	SC	SC	SM	SC	
COMPACTAÇÃO																					
Densidade Seca (máx) - $\gamma_s \text{ (kN/m}^3\text{)}$		1,85	1,82	1,91	1,69	1,69	1,710	1,86	1,63	1,86	1,88	1,83	1,900	1,92	1,88	1,84	1,860	1,82	1,89	1,79	1,89
Umidade ótima - $h_{optima}$ (%)		12,5	13,5	11,7	17,3	12	17	14	17,6	13,6	12,3	13,7	10,7	9,7	12,2	14,4	13,2	10,5	10,1	14,2	12,5
Umidade Natural - $h$ (%)		14,3	14,6	11,3	16,7	11,8	16,21	12,8	16	12,6	11,1	11,6	9,47	7,53	9,81	12,7	11,73	8,47	8,32	11,5	10,4



**FIGURA 4.7 – Áreas de Empréstimo 1, 2 e 3 – Curvas de Distribuição Granulométrica**



**FIGURA 4.8 – Áreas de Empréstimo 1, 2 e 3 – Compactação Proctor Normal**



**FIGURA 4.9 – Áreas de Empréstimos 1, 2 e 3 – Carta de Plasticidade**

Os solos ocorrentes, classificados segundo a USCS, correspondem a solos arenos argilosos e argilosos de baixa plasticidade e pouco compressíveis. A análise das curvas de distribuição granulométrica e da carta de plasticidade revela que os solos das três áreas selecionadas são razoavelmente uniformes.

No respeitante à umidade natural, esta se apresenta, em geral, inferior à umidade ótima para compactação determinada no ensaio de Proctor Normal, o que exigirá tratamento corretivo de umidificação para enquadrar os solos na faixa de umidade adequada à compactação. Salienta-se que as amostras foram coletadas nos meses de março e abril, período de chuvas na região, e que nos meses de verão, a umidade natural certamente apresentará valores mais baixos.

Quanto ao tratamento corretivo de umidificação, este poderá ser executado na praça de trabalho do maciço ou na própria área de empréstimo. E conveniente aqui salientar que, o tratamento na praça de trabalho tem o inconveniente de provocar o ressecamento superficial do solo quando as operações de gradeamento se estendem por longos períodos. Tal fato propicia a formação de películas endurecidas, que dificultam o destorramento e o umedecimento homogêneo do material.

Os ensaios de permeabilidade, em permeâmetro de carga variável, revelaram para as áreas de empréstimo, os seguintes valores médios para o coeficiente de permeabilidade:

Empréstimo nº 1  $k = 8,53 \times 10^{-7}$

Empréstimo nº 2  $k = 7,00 \times 10^{-7}$

Empréstimo nº 3  $k = 6,18 \times 10^{-7}$

Observa-se também através da permeabilidade, uma excelente uniformidade dos solos das três áreas selecionadas como fonte de material para construção do maciço.

No respeitante à resistência ao cisalhamento, foram ensaiadas três amostras de solos compactados dos empréstimos em câmara triaxial, na condição não drenada, tanto na umidade de compactação, como na saturada. Os resultados destes ensaios forneceram valores muito baixos e

discrepantes para  $c'$  e  $\phi'$ , considerando os diversos tipos de ensaios ( $Q$ ,  $R$ ,  $R_{sat}$ ). Assim sendo, estes ensaios não foram considerados. Já os ensaios de cisalhamento direto forneceram valores bastante coerentes entre os diversos ensaios realizados. O confronto entre os valores de  $c'$  e  $\phi'$ , obtidos nos ensaios de cisalhamento direto, com dados de ensaios pesquisados na literatura, permitiram estabelecer os valores de  $c'$  e  $\phi'$  a serem utilizados nos estudos e análises de estabilidade da Barragem Arneiroz II. Foram adotados então os valores de  $c' = 20$  kPa e  $\phi' = 28^\circ$ .

#### **4.3.2. Materiais Granulares**

Dois extensos bancos de areia foram identificados a montante do eixo do barramento, no leito do rio. O primeiro banco de areia inicia-se a 500 m do eixo da barragem e possui extensão de 1,6 km. Este banco foi denominado Jazida nº 1, e o seu volume disponível foi estimado em 120 000 m<sup>3</sup>. O segundo banco de areia inicia-se a 3,2 km do eixo da barragem e possui extensão de 1,0 km. Este banco foi denominado Jazida nº 2 e o seu volume disponível é de 288.000 m<sup>3</sup>. O

volume total de areia disponível é de 408 000 m<sup>3</sup>, sendo suficiente para o atendimento às necessidades da obra.

A exploração da areia será bastante facilitada, considerando que, na maior parte do ano, os bancos não estão submersos.

Na Figura 4 10 são apresentadas as curvas de distribuição granulométrica da areia disponível nas Jazidas 1 e 2. A análise destas curvas mostra que os materiais dos dois bancos apresentam-se bastante uniformes, e do ponto de vista granulométrico, adequados para aplicação tanto nos filtros da barragem, quanto como agregado para concreto.

Quanto à permeabilidade, os ensaios no permeâmetro de carga constante revelaram os seguintes valores médios para o coeficiente de permeabilidade

$$\text{Jazida 1} - k = 4,75 \times 10^{-3} \text{ cm/s}$$

$$\text{Jazida 2} - k = 5,36 \times 10^{-3} \text{ cm/s}$$

Observa-se também para as areias das duas jazidas, um comportamento bastante uniforme, no respeitante à permeabilidade, o que as qualifica como material para construção do sistema de drenagem interna da barragem

#### **FIGURA 4.10 – Curvas de Distribuição granulométrica da areia**

As curvas granulométricas mostram que cerca de 8 % do material é maior do que a peneira nº 4, o que acarretará o seu peneiramento para aplicação nos concretos.

#### **4.3.3 Material Pétreo**

A obtenção de material pétreo, tanto para construção de uma barragem de enrocamento quanto para produção de agregados para concreto não será problema, uma vez que o capeamento de solo nas vizinhanças do barramento tem pequena espessura e diversos afloramentos de rocha foram identificados ao longo da margem direita do rio, a montante do eixo da barragem. Dentre estes afloramentos, foi identificado um de grandes proporções, distante 1,5 km do eixo da barragem, cujo volume é de 360 000 m<sup>3</sup>. No caso de se optar por uma barragem de enrocamento, será necessário complementar uma pequena parte deste volume. Para tal, será necessário explorar uma Segunda pedreira, também no lado montante do eixo. Esta pedreira poderá ser aberta na margem direita, logo no início da ombreira, onde, conforme mostraram as sondagens, o topo rochoso é bem superficial.

As características visíveis da rocha e sua correlação com litologias semelhantes permitem afirmar que a alterabilidade do gnaissé é incipiente na escala da vida útil da obra. A resistência à compressão simples é alta e a perda máxima por abrasão, determinada no ensaio de Abrasão Los Angeles, graduação F, foi de 19,5 %, bem abaixo do limite especificado pela norma NBR 6465/84 da ABNT, que é de 50%. Assim, a rocha apresenta condições de aplicação tanto para agregado graúdo para concreto, quanto para enrocamento.

## 5. BIBLIOGRAFIA PESQUISADA

ALMEIDA, F.F.M , HASUI, Y , NEVES, B B B , et al, 1981 Brazilian structural provinces. an introduction Earth Sci Rev , Amsterdam, V 17, p -1-29 (Special Issue).

BARTON, N & CHOUBEY, V 1997. The Shear Strength of Rock Joints in Theory and Practice. Rock Mechanics nº 10

BARTON, M.R, LIEN, R and LUNDE, J 1974 Engineering Classification of rock masses for the design of tunnel support Rock Mech 6 (4), 189-239

BIENIASWSKI, Z T 1989 Engineering rock mass classifications New York Wiley.

BRASIL Ministério das Minas e Energia Secretaria-Geral 1974. Projeto RADAMBRASIL - Folha SB 24 – Jaguaribe. Texto Explicativo Brasília.

BRASIL Ministério das Minas e Energia. Secretaria-Geral. 1981 Projeto RADAMBRASIL - Folha SA 24 – Fortaleza Vol. 21. Rio de Janeiro

DNPM. 1974 Carta Geológica do Brasil ao Milionésimo – Folha Jaguaribe (SB-24), Folha Fortaleza (SA-24) Texto Explicativo por José Robinson Alcoforado Dantas Brasília

FELL, R., MacGREGOR, P , STAPLEDON, D (1992) Geotechnical Engineering of Embankment Dams. Bulkema, Rotterdam

## 6. DESENHOS